

10 de septiembre de 2025
Archivo No. 01204123.21-13

Sr. Baitong Chen
Distrito de Gestión de la Calidad del Aire de la Costa Sur
21865 Copley Drive
Diamond Bar, California 91765

Asunto: Determinación del Comité de Reacción Mensual sobre los Límites del Área de Reacción del Vertedero de Chiquita Canyon - Castaic, California

Estimado Sr. Chen:

Conforme a las Condiciones No. 9a y 9b de la Orden de Depuración Estipulada Modificada (SOFA) en relación al Vertedero de Chiquita Canyon (el Vertedero o el Centro) (Caso No. 6177-4), el Comité de Reacción revisó los nuevos datos adquiridos aplicables registrados durante el mes de agosto de 2025, consideró las revisiones del alcance estimado de las condiciones del vertedero de temperaturas elevadas (ETLF) en el Centro de referencia (denominados límites del "Área de Reacción") y ha elaborado esta determinación sobre potencialmente revisar el mapa del Área de Reacción.

El Adjunto A presenta el Plano con el título "Mapa del Área de Reacción", preparado por SCS Engineers (SCS) con fecha 8 de septiembre de 2025. El Plano muestra el límite del Área de Reacción como se indica en la Condición No. 9a que corresponde a los límites de las Celdas 1/2A, 2B/3, 4 y al Módulo 2B/3/4 P2 como línea negra sólida. El Plano también muestra el alcance estimado de las condiciones de ETLF experimentadas en el sitio en base a la revisión de los datos científicos del Comité de Reacción como línea de puntos magenta. El fundamento que sirve como base para considerar ajustes y modificaciones en el límite del Área de Reacción (o la determinación de mantener el límite decretado) incluye lo siguiente:

- Temperaturas del cabezal del pozo de Biogás (LFG) que exceden aproximadamente los 160 grados Fahrenheit.
- Mala calidad del gas (definido como niveles de metano inferiores al 30 por ciento) junto con proporciones de metano-dióxido de carbono (CH₄:CO₂) inferiores a 1.0.
- La concentración de hidrógeno (H₂) en el LFG que mide más del 2 por ciento por volumen.
- La concentración de monóxido de carbono (CO) en el LFG que mide más del 2,000 ppm.
- Asentamiento acelerado de la superficie del vertedero, definida como aproximadamente 18 pulgadas o más dentro de un período de 60 días y grietas en la cubierta del vertedero. Esto corresponde a un índice de un valor de tensión (es decir, un índice de asentamiento) del 3 por ciento por año para zonas con profundidad de columnas de desechos de 300 pies, que creemos que es una profundidad promedio razonable en el tema de interés.
- Observaciones de primera mano del Vertedero y/o del personal de campo de ingeniería, construcción y operaciones y mantenimiento (O&M) de SCS que está en el sitio. 1) cantidades excesivas atípicas de lixiviados (presencia y cantidad de líquidos); 2) instancias de líquidos presurizados que salen de la superficie del vertedero, desde los pozos durante las perforaciones y desde los pozos de LFG; y 3) las



características de los olores que se originan en las áreas seleccionadas de la huella de desechos (generalmente descritas como "similares a productos químicos" y distintivamente diferentes del LFG típico u olores en el trabajo del vertedero)

- Observaciones de condiciones y características de los desechos de la subsuperficie como se indica en los registros de perforación del pozo para nuevos pozos y/o sondas, recién instalados.
- Temperaturas de la subsuperficie registradas en las sondas de temperatura de desechos in-situ durante agosto de 2025.
- Temperatura del gas o de los líquidos medida en profundidad dentro del tubo elevador del pozo de LFG (utilizando un transmisor automatizado o instrumentación de campo manual).
- Temperatura y presiones en la subsuperficie asociadas a las actividades de perforaciones para los nuevos pozos de extracción de gas durante agosto de 2025.

CONSIDERACIONES DE POTENCIALES AJUSTES AL ALCANCE ESTIMADO DE LAS CONDICIONES DLE ETLF (LÍNEA DE PUNTOS MAGENTA)

Al realizar sus determinaciones mensuales, el Comité de la Reacción evalúa los parámetros del set de datos arriba indicados, junto con otro más, para identificar tendencias significativas que indiquen condiciones de ETLF, en lugar de fluctuaciones exhibidas en puntos de datos aislados.

Cada mes, el Comité de la Reacción examina áreas particulares del Vertedero que previamente exhibieron datos anormales o fluctuantes, cuando aplica. Como se trata a continuación, el Comité ha determinado que hay suficientes datos para ajustar el límite, para incorporar un área pequeña distinta inmediatamente contigua (al norte) al límite, como se determinó en el ejercicio mensual anterior. Este ajuste incluye un pozo de extracción de LFG (CV-24011) basado en las tendencias demostradas dentro de los datos de agosto de 2025 y en los datos de los últimos varios meses.

Cerca de CV-24011

El pozo CV-24011 está posicionado dentro de los 25 pies del límite aproximadamente, como se delineó en el ejercicio del mes anterior. El pozo registró temperaturas en el cabezal de LFG dentro del rango de 160 a 162 grados F durante junio y julio y la temperatura promedio del cabezal de pozo de LFG medida durante agosto fue de 165 grados F. Este aumento se atribuyó a una medición de 180 grados F el 19 de agosto y el pozo exhibió una temperatura sustancialmente reducida de 160 grados F durante un evento de monitoreo posterior el 25 de agosto.

La calidad del LFG en CV-24011 es bastante mala, con una concentración de metano promedio de solo un 15 por ciento durante el período de los últimos 3 meses (de junio a agosto) y la relación promedio de metano a dióxido de carbono ($\text{CH}_4:\text{CO}_2$) durante este período fue de 0.2. La concentración promedio de monóxido de promedio carbono (CO) en CV-24011 medida durante este período fue de aproximadamente 4,100 ppm. La concentración promedio de hidrógeno (H_2) medida durante este período fue de un 11.1 por ciento.

El pozo está en la proximidad cercana a un colector horizontal profundo de legado (H-59 a una elevación de 1280 pies) que se extiende desde el sur (dentro de la Zona Reactiva delineada previamente) hacia el norte, que es una señal del potencial de que estas características de ETLF que se están observando en el pozo CV-24011 podrían

atribuirse a la migración de calor, gas y lixiviados desde dentro de la Zona Reactiva existente, como se delineó durante el mes anterior, a través de estos colectores horizontales. Sin embargo, se reconoce que podría haber presentes condiciones de ETLF en los materiales de desecho alrededor de este pozo, que están a una distancia relativamente corta hacia el norte, el Comité de la Reacción cree que es prudente instituir un ajuste de 25 pies a la extensión estimada de las condiciones de ETLF en esta ubicación discreta. El Comité de la Reacción no cree que este leve ajuste necesariamente sea una señal de que se esté experimentando una expansión sustancial de la reacción de la subsuperficie en la parte noroeste del Vertedero, ya que la zona que se está incorporando mide menos de medio acre. Aunque el pozo contiguo CV-24007 exhibió concentraciones de H₂ en el rango del 2 al 5 por ciento durante junio a agosto, la temperatura promedio del cabezal del pozo e LFG medida durante este período es de solo 125 grados F. Además, el pozo contiguo CV-24008 exhibió una temperatura promedio en el cabezal del pozo de 119 grados F durante este período de tres meses, que no es representativo de las condiciones de ETLF. Otro pozo posicionado más al este a lo largo de este límite hacia el norte, el CV-24009, exhibió una concentración de H₂ de solo el 4 por ciento durante agosto y la temperatura promedio del cabezal del pozo de LFG fue de aproximadamente 151 grados F. Por lo tanto, la Zona Reactiva no presenta cambios a lo largo de otros segmentos de este límite norte.

A pesar de varianzas menores en áreas discretas del vertedero, el Comité de la Reacción no ha discernido ninguna tendencia significativa con respecto a los datos de agosto de 2025 que indiquen que la reacción se ha expandido a las áreas tratadas a continuación.

Cerca de CV-2333 y CV-24126

El pozo CV-24126 está posicionado dentro de los 100 pies, aproximadamente del límite delineado. El pozo CV-24126 registró temperaturas del cabezal del pozo de LFG en el rango de 162 a 168 grados F durante junio y julio; pero las temperaturas del cabezal del pozo de LFG medidas durante agosto en este pozo estuvieron entre 140 y 145 grados F. La temperatura promedio del cabezal del pozo de LFG en el pozo contiguo CV-2333 medida durante agosto fue de 135 grados F. Aunque la calidad del LFG en CV-2333 y CV-24126 es mala, con una concentración promedio de CH₄ de solo un 3 y un 6 por ciento durante junio a agosto respectivamente, las temperaturas registradas en estos pozos son inconsistentes con las condiciones de la reacción.

Cerca de CV-2541

El pozo CV-2541 es un pozo nuevo que se instaló el 19 de junio de 2025 y está posicionado dentro de los 25 pies aproximadamente de la línea límitrofe delineada. Está posicionado inmediatamente contiguo a los colectores horizontales H- 54 (a una elevación de 1225 pies) y al H-1564 (a una elevación de 1245 pies), ambos se extienden cientos de pies hacia la Zona Reactiva. Durante agosto, el Pozo CV-2541 registró una variedad significativamente amplia de temperaturas, que es típico desde su instalación, pero la temperatura promedio durante agosto fue de solo 129 grados F. La temperatura promedio del cabezal del pozo de LFG medida en el pozo contiguo CV-24068 durante agosto fue de 149 grados F.

Considerando que las temperaturas más recientes son relativamente bajas para las condiciones del ETLF, además de la proximidad a los colectores horizontales y al hecho de que el CV-2541 solo estuvo operativo por aproximadamente 70 días, el Comité de la Reacción no cree que se justifique un ajuste en los límites de la Zona Reactiva que incluya las partes de la huella de desechos que incluye el CV-2541 en este momento.

DATOS DE LAS SONDAS DE MONITOREO DE TEMPERATURA

El Comité de la Reacción revisó las mediciones de temperatura registradas durante agosto de 2025 utilizando las sondas de monitoreo de temperatura in-situ. A agosto de 2025, seis de las 32 sondas (TP-2, TP-3, TP-9, TP-11, TP-15 y TP-21) están dentro del alcance estimado actual de las condiciones del ETLF (línea de puntos magenta). De las veintisiete (26) sondas restantes colocadas fuera de los límites, doce sondas se encuentran ubicadas dentro de una proximidad relativamente cercana (dentro de los 200 pies) de este límite. La opinión del Comité de la Reacción es que las temperaturas registradas por las 26 sondas fuera del límite durante agosto de 2025 no son indicios de una reacción de la subsuperficie y no justifica una decisión de ajustar el límite de la Zona Reactiva en este momento.

El Comité de la Reacción continúa observando muy de cerca los sutiles aumentos en las temperaturas en TP-13 para evaluar si constituyen tendencias consistentes con las condiciones de ETLF en este lugar. Sin embargo, las temperaturas de LFG registradas en el cabezal del pozo de LFG ubicado en el mismo lugar (CV-24073) continuaron siendo inferiores a 140 grados F durante agosto.

El Comité de la Reacción evaluó las temperaturas máximas durante 30 días registradas en TP-24, TP-26, TP-29, TP-30 y TP-31, que se han mantenido relativamente consistentes durante el período de 6 semanas previo del 15 de Julio al 31 de agosto de 2025 (excepto una fluctuación de corto plazo en el intervalo a los 240 pies en TP-29 por 3 días a mediados de agosto). Una observación es que el abrupto aumento en la termocupla a los 240 pies en TP-29 de 183 grados F a 193 grados F y después bajando a 183 grados F en un período de 6 días a mediados de agosto es algo irregular en esa profundidad. El Comité de la Reacción notó que hay menos diferenciación entre las temperaturas máximas en 30 días en estas cinco sondas, comparadas con las temperaturas máximas en 30 días medidas en las tres sondas dentro de la extensión estimada actual de las condiciones de ETLF (línea de puntos magenta), específicamente TP-3, TP-9 y TP-21. Sin embargo, los pozos que están alrededor de estas sondas no exhiben evidencia de calor atípico o de la composición del LFG asociado a condiciones de ETLF. Por lo tanto, el Comité de la Reacción no cree que se justifique en este momento un ajuste en el límite de la Zona Reactiva que incluya las partes de la huella de desechos que incluya TP-24, TP-26, TP-29, TP-30 y TP-31.

CONCENTRACIONES DE HIDRÓGENO

El Comité de Reacción también evaluó la concentración de hidrógeno en el LFG durante agosto de 2025. Recordamos que ciertos pozos posicionados al Sur este del límite de la Zona Reactiva (donde se reactivó la bomba de desagüe) habían demostrado periódicamente algún aumento en el contenido de hidrógeno en el LFG durante la revisión del Comité de Reacción de los datos de los meses anteriores, que fue un caso similar para los datos de agosto de 2025. El Comité de la Reacción notó en su revisión de los datos que, excepto los pozos CV-24011 y CV-2541, estos pozos no exhibieron temperaturas elevadas. No hubo evidencia de mayor calor que es algo típico en condiciones de ETLF en los pozos que exhiben concentraciones de hidrógeno atípicas (excepto los pozos CV-24011 y CV-2541). Como se notó previamente, el Comité de la Reacción sospecha que este aumento en el contenido de hidrógeno podría atribuirse a los sustanciales desagotes que se están logrando en toda la Zona Reactiva y podría estar asociado al movimiento de gas desde adentro de la Zona Reactiva por los colectores horizontales cercanos existentes. Por lo tanto, la presencia de hidrógeno elevado en estos lugares aislados no sugieren que las condiciones de ETLF se estén expandiendo hacia el sur y hacia el este del límite delineado. Por lo tanto, el Comité de Reacción no cree que se justifique un ajuste en el límite de la Zona Reactiva, excepto el ajuste indicado arriba, en este momento.

CONCLUSIÓN

Como se presenta en el Plano incluido como **Adjunto A**, el alcance estimado de las condiciones de ETLF (línea de puntos de color magenta) está completamente contenida dentro del límite del Área de Reacción decretado en la SOFA (línea sólida negra). Como las condiciones del ETFL están completamente contenidas dentro del límite del Área de Reacción y no experimentaron ninguna celda nueva, el Comité de Reacción no encuentra ninguna base para modificar el límite del Área de Reacción como se indica en la Condición 9a, en este momento.

No hubo ninguna opinión disidente entre los miembros del Comité de Reacción sobre esta determinación mensual. Los datos de respaldo se presentan en el Plano incluido como **Adjunto A**. Las mediciones de temperaturas máximas registradas en las 32 sondas de monitoreo de temperatura de los desechos in-situ (tanto valores de 7 Días como de 30 Días) durante agosto se presentan en el **Adjunto B** en formato gráfico. Las temperaturas de los pozos de LFG registradas en los pozos de extracción para toda la huella del Vertedero se reflejan en el mapa del rango de gradientes isotérmicas presentado como **Adjunto C**. Las relaciones de CH₄:CO₂ medidas en los cabezales de los pozos de LFG cerca del límite de la Zona Reactiva indicado por los datos se muestran en el mapa de rangos presentado como **Adjunto D**. Las concentraciones de H₂ medidas en los cabezales de los pozos de LFG cerca del límite de la Zona Reactiva indicado por los datos se muestran en el mapa de rangos presentado como **Adjunto E**. Las concentraciones de CO medidas en los cabezales de los pozos de LFG cerca del límite de la Zona Reactiva indicado por los datos se muestran en el mapa de rangos presentado como **Adjunto F**. Los valores isopáquicos del asentamiento de la superficie medidos trimestralmente (los del 2 de abril de 2025 comparados con los del 2 de julio de 2025) cerca del límite de la Zona Reactiva indicada por los datos se muestran en el mapa de rangos presentado como **Adjunto G**. La base de datos electrónica y la plataforma que guarda los registros permite que estas mediciones se descarguen en un formato de hoja de cálculo tabular, que puede presentarse al Distrito de Gestión de la Calidad del Aire de la Costa Sur en una carátula separada, si se solicita.

Por favor, comuníquese con el firmante si tiene preguntas o si necesita más información. Atentamente,



Robert E. Dick, PE, BCEE
Vicepresidente Sénior
SCS Engineers



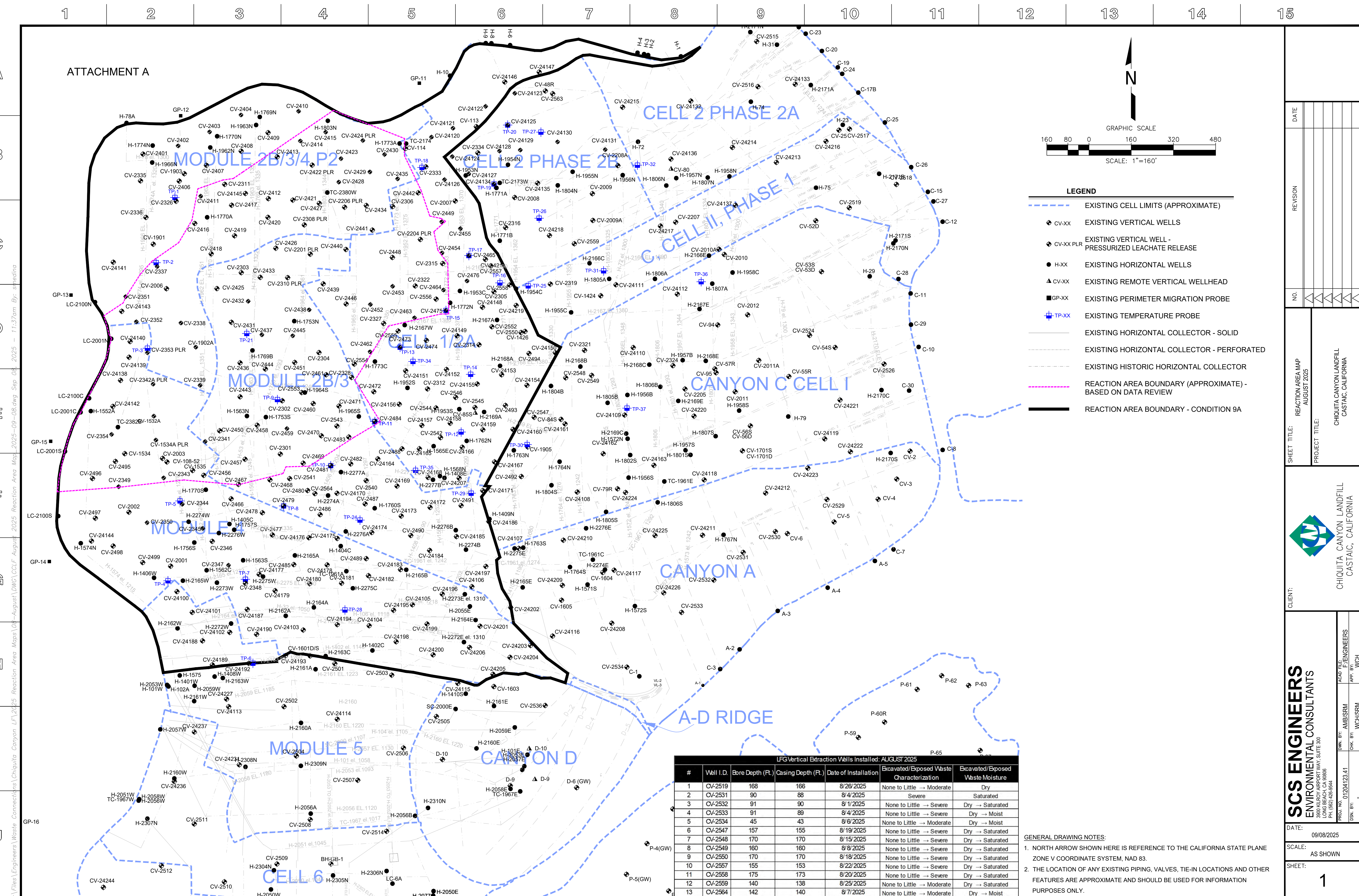
Patrick S. Sullivan, BCES, CCP
Vicepresidente Sénior
SCS Engineers

RED/PSS

cc: Nathaniel Dickel, SCAQMD
Christina Ojeda, SCAQMD
Patrick S. Sullivan, REPA, CPP, BCES, SCS Engineers
Pablo Sánchez Soria, PhD, CIH, CTEH
Neal Bolton, PE, Blue Ridge Services, Inc.
Richard Pleus, PhD, Intertox
Srividhya Viswanathan, PE, SCS Engineers

Adjuntos:

- Adjunto A - Mapa del Área de Reacción
- Adjunto B – Datos de las Sondas de Monitoreo de Temperatura de los Desechos In-Situ
- Adjunto C – Mapa de Distribución de Gradiente Isotérmico
- Adjunto D – Mapa del Rango de Metano a Carbono en el Cabezal del Pozo
- Adjunto E – Mapa del Rango de Hidrógeno en el Cabezal del Pozo
- Adjunto F – Mapa del Rango de Monóxido de Carbono en el Cabezal del Pozo
- Adjunto G – Mapa del Rango Isopáquico del Asentamiento



ADJUNTO B

Perfiles de Temperatura Máxima en Cabezales de Pozos de Desechos Sólidos Durante 6 Semanas

del 24/7/2025 al 3/9/2025

Desde el 28 de agosto de 2025 hasta el 3 de septiembre de 2025 hubo dos reducciones de temperatura registradas y hubo un aumento de temperatura registrado que activó los límites de aviso establecidos por la carta de la LEA del 4 de octubre de 2024.

Además, al 4 de abril de 2025, se instalaron y están en línea doce TMPs nuevas (TMP-21, TMP-24, TMP-25, TMP-26, TMP-27, TMP-28, TMP-29, TMP-30, TMP-31, TMP-32, TMP-34 y TMP-35). Ninguna de estas nuevas doce TMPs indican que hayan ocurrido temperaturas de reacción fuera del límite de la zona reactiva dirigido por datos actualmente delineado y las cuatro TMPs que pudieron perforarse dentro de los 25 pies del revestimiento (TMP-24, TMP-27, TMP-31 y TMP-32) indican temperaturas significativamente más frescas en la termocupla más profunda, como se previó, debido al enfriamiento de la tierra subyacente.

Chiquita proporciona las siguientes actualizaciones:

- TP-07
 - La termocupla a 60 pies indicó una lectura anómala el 21 de agosto de 198°F en una sola lectura de una hora; sin embargo, las lecturas posteriores fueron consistentes con las temperaturas registradas previas y ninguna otra termocupla en TP-07 mostró cambios de temperatura de este tipo, indicando que este aumento registrado de la temperatura muy probablemente fue erróneo.
- TP-08
 - La termocupla de 30 pies mostró un aumento en la temperatura máxima de 10°F de 149°F a 159°F desde el 1 de septiembre hasta el 3 de septiembre.
- TP-13
 - La termocupla de 30 pies mostró una reducción en la temperatura máxima de 10°F de 152°F a 142°F desde el 25 de agosto al 1 de septiembre.
- TP-15
 - La termocupla de 30 pies mostró una reducción en la temperatura máxima de 10°F de 186°F a 176°F desde el 21 de agosto al 28 de agosto.
- TP-35
 - Todas las termocuplas estuvieron temporalmente fuera de línea el 2 de septiembre para reparar el revestimiento de la termocupla. Como resultado, todas las lecturas máximas del 2 de septiembre son erróneas.

SCS ENGINEERS

0722405 3. 00

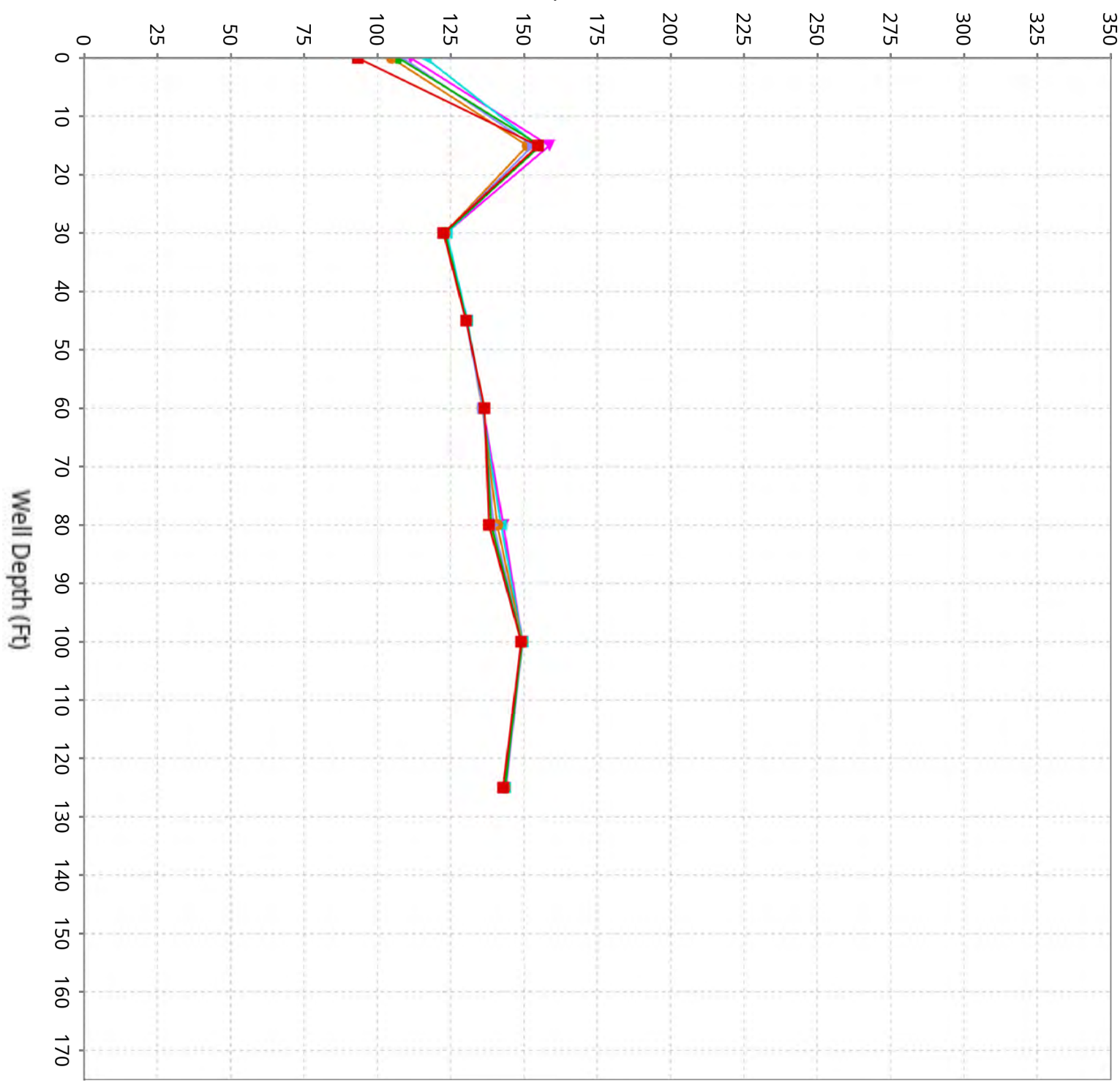
4 de septiembre de 2025

274 Granite R Drive
Lancaster, PA 17601
717-550-6330

Vertical Temperature Profiles from Temperature Probes at Chiquita Landfill for TP-1

Maximum data for 7/24/2025 to 9/3/2025

Temperature (°F)

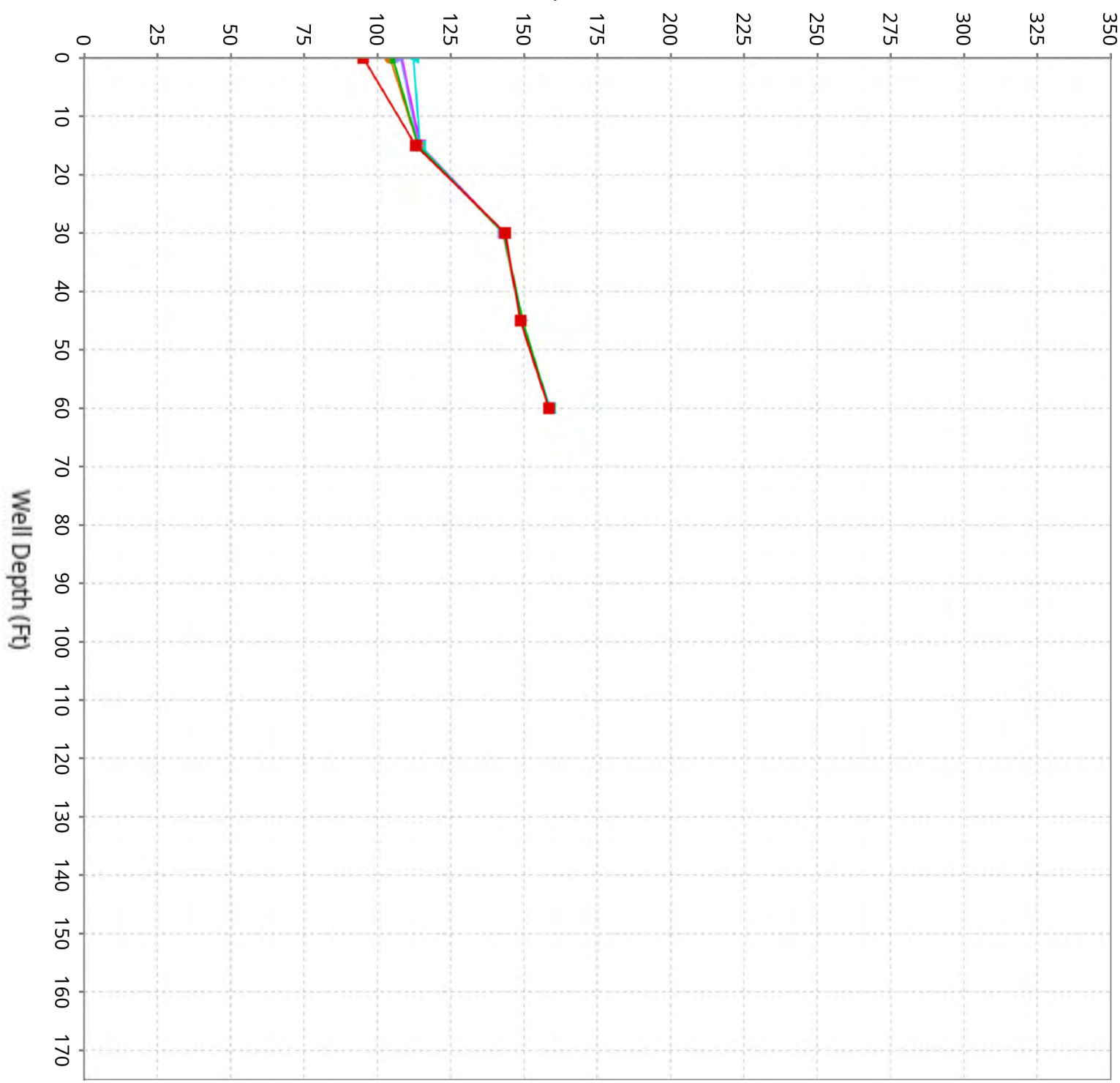


■ 7/24/25-7/31/25 ■ 7/31/25-8/7/25 ■ 8/7/25-8/14/25 ■ 8/14/25-8/21/25 ■ 8/21/25-8/28/25 ■ 8/29/25-9/3/25

Vertical Temperature Profiles from Temperature Probes at Chiquita Landfill for TP-2

Maximum data for 7/24/2025 to 9/3/2025

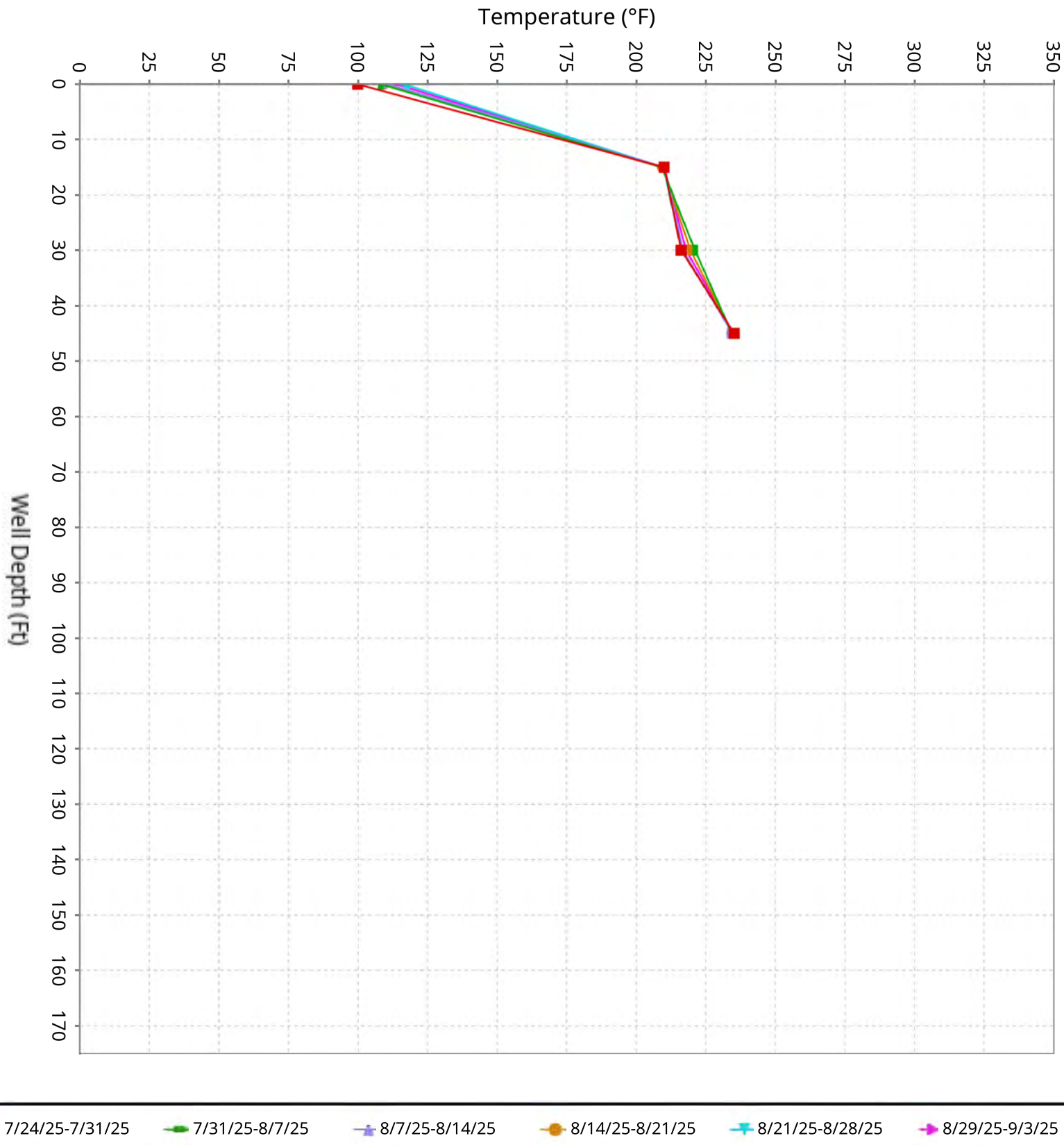
Temperature (°F)



■ 7/24/25-7/31/25 ■ 7/31/25-8/7/25 ■ 8/7/25-8/14/25 ■ 8/14/25-8/21/25 ■ 8/21/25-8/28/25 ■ 8/29/25-9/3/25

Vertical Temperature Profiles from Temperature Probes at Chiquita Landfill for TP-3

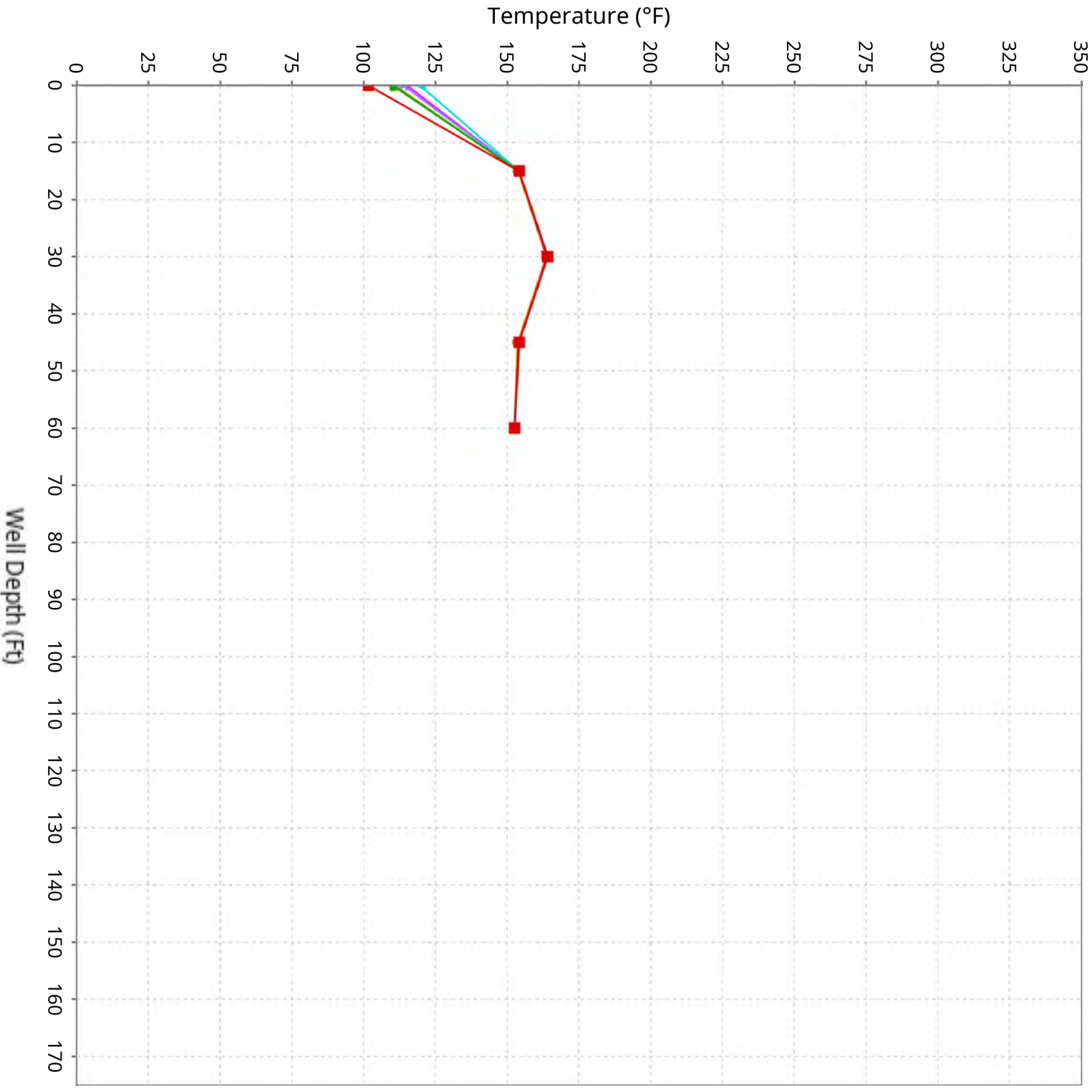
Maximum data for 7/24/2025 to 9/3/2025



■ 7/24/25-7/31/25 ■ 7/31/25-8/7/25 ■ 8/7/25-8/14/25 ■ 8/14/25-8/21/25 ■ 8/21/25-8/28/25 ■ 8/29/25-9/3/25

Vertical Temperature Profiles from Temperature Probes at Chiquita Landfill for TP-4

Maximum data for 7/24/2025 to 9/3/2025

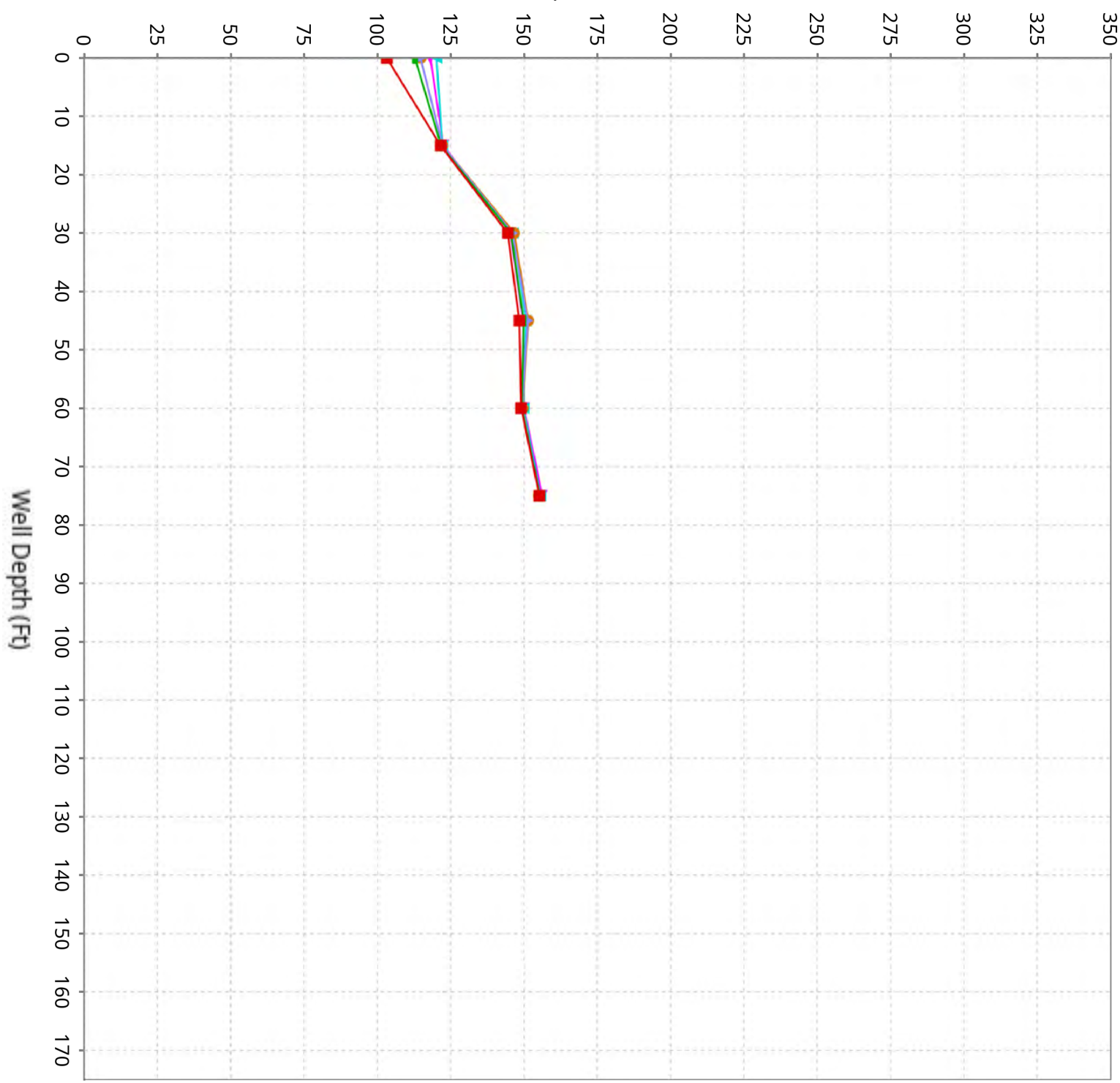


■ 7/24/25-7/31/25 ■ 7/31/25-8/7/25 ■ 8/7/25-8/14/25 ■ 8/14/25-8/21/25 ■ 8/21/25-8/28/25 ■ 8/29/25-9/3/25

Vertical Temperature Profiles from Temperature Probes at Chiquita Landfill for TP-5

Maximum data for 7/24/2025 to 9/3/2025

Temperature (°F)

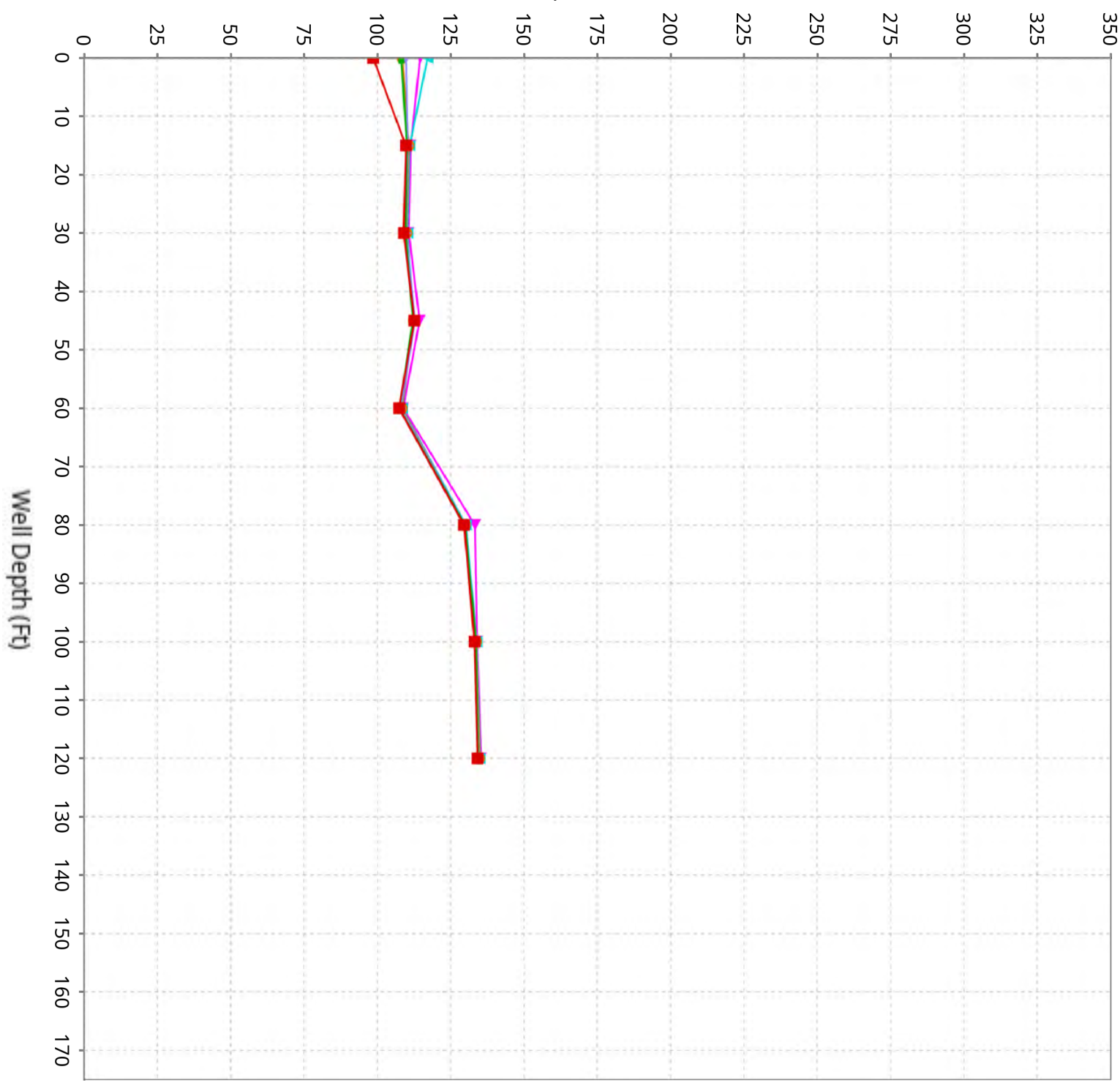


■ 7/24/25-7/31/25 ■ 7/31/25-8/7/25 ■ 8/7/25-8/14/25 ■ 8/14/25-8/21/25 ■ 8/21/25-8/28/25 ■ 8/29/25-9/3/25

Vertical Temperature Profiles from Temperature Probes at Chiquita Landfill for TP-6

Maximum data for 7/24/2025 to 9/3/2025

Temperature (°F)

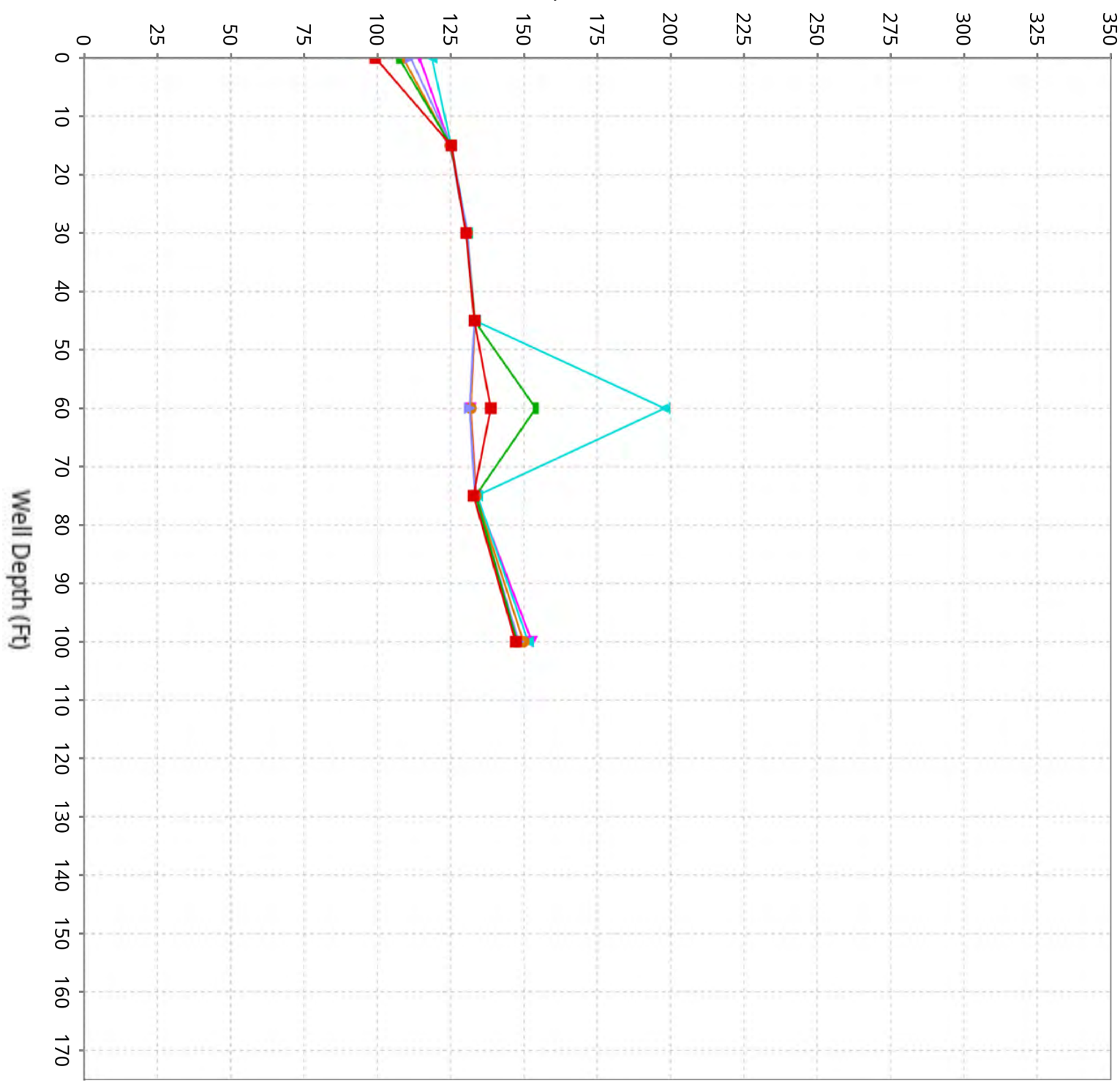


■ 7/24/25-7/31/25 ■ 7/31/25-8/7/25 ■ 8/7/25-8/14/25 ■ 8/14/25-8/21/25 ■ 8/21/25-8/28/25 ■ 8/29/25-9/3/25

Vertical Temperature Profiles from Temperature Probes at Chiquita Landfill for TP-7

Maximum data for 7/24/2025 to 9/3/2025

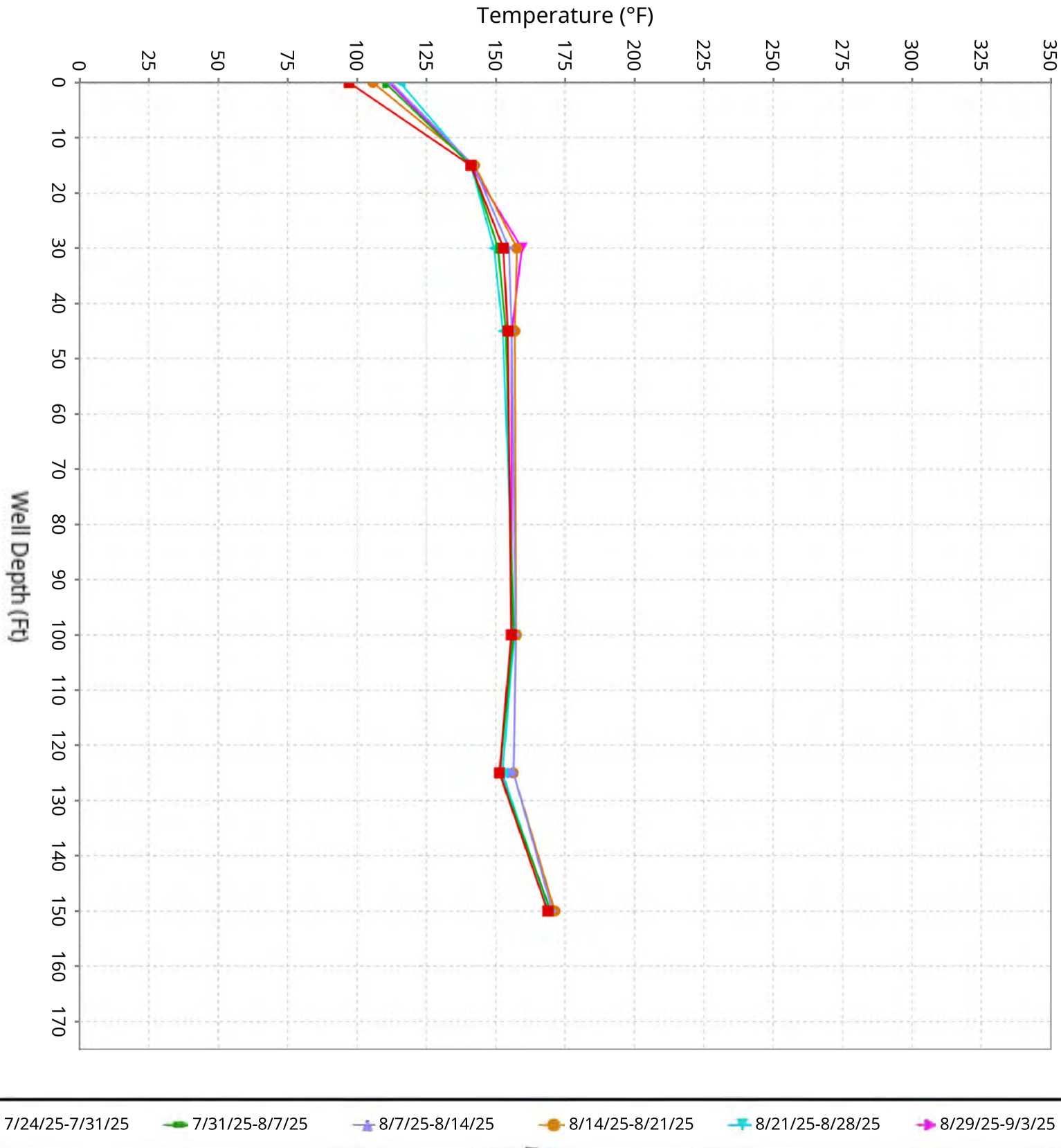
Temperature (°F)



■ 7/24/25-7/31/25 ■ 7/31/25-8/7/25 ■ 8/7/25-8/14/25 ■ 8/14/25-8/21/25 ■ 8/21/25-8/28/25 ■ 8/29/25-9/3/25

Vertical Temperature Profiles from Temperature Probes at Chiquita Landfill for TP-8

Maximum data for 7/24/2025 to 9/3/2025

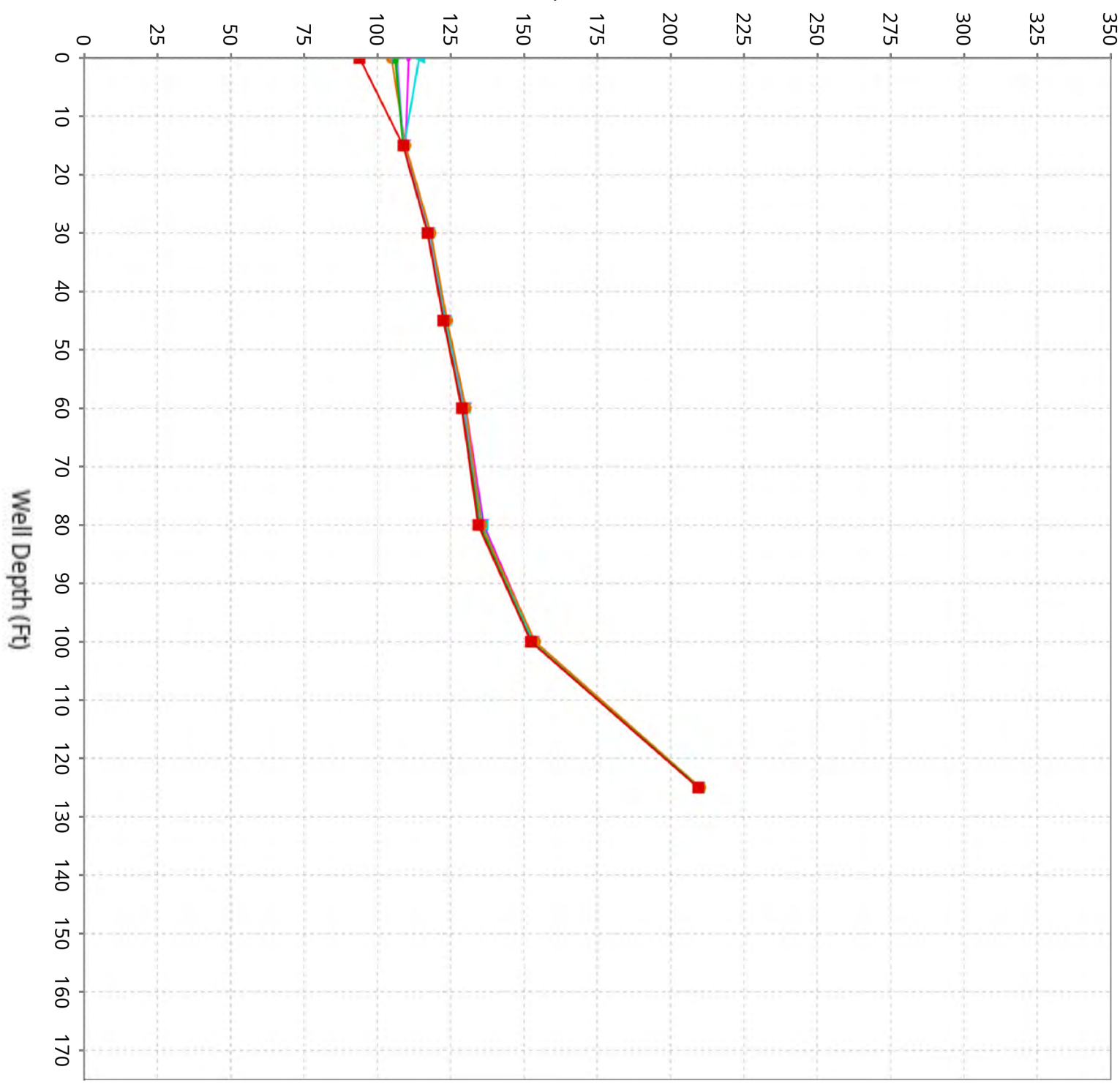


■ 7/24/25-7/31/25 ■ 7/31/25-8/7/25 ■ 8/7/25-8/14/25 ■ 8/14/25-8/21/25 ■ 8/21/25-8/28/25 ■ 8/29/25-9/3/25

Vertical Temperature Profiles from Temperature Probes at Chiquita Landfill for TP-9

Maximum data for 7/24/2025 to 9/3/2025

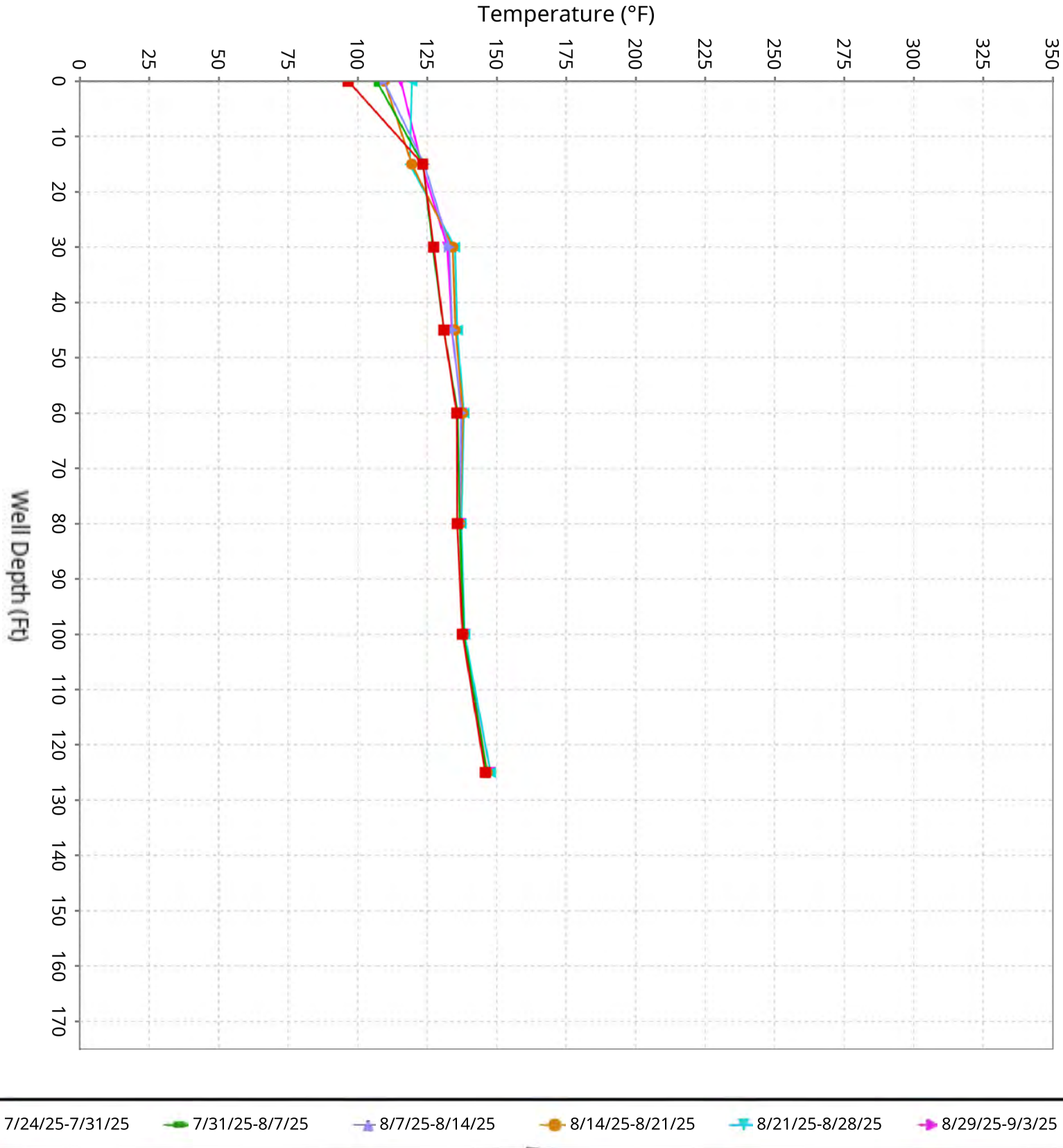
Temperature (°F)



■ 7/24/25-7/31/25 ■ 7/31/25-8/7/25 ■ 8/7/25-8/14/25 ■ 8/14/25-8/21/25 ■ 8/21/25-8/28/25 ■ 8/29/25-9/3/25

Vertical Temperature Profiles from Temperature Probes at Chiquita Landfill for TP-10

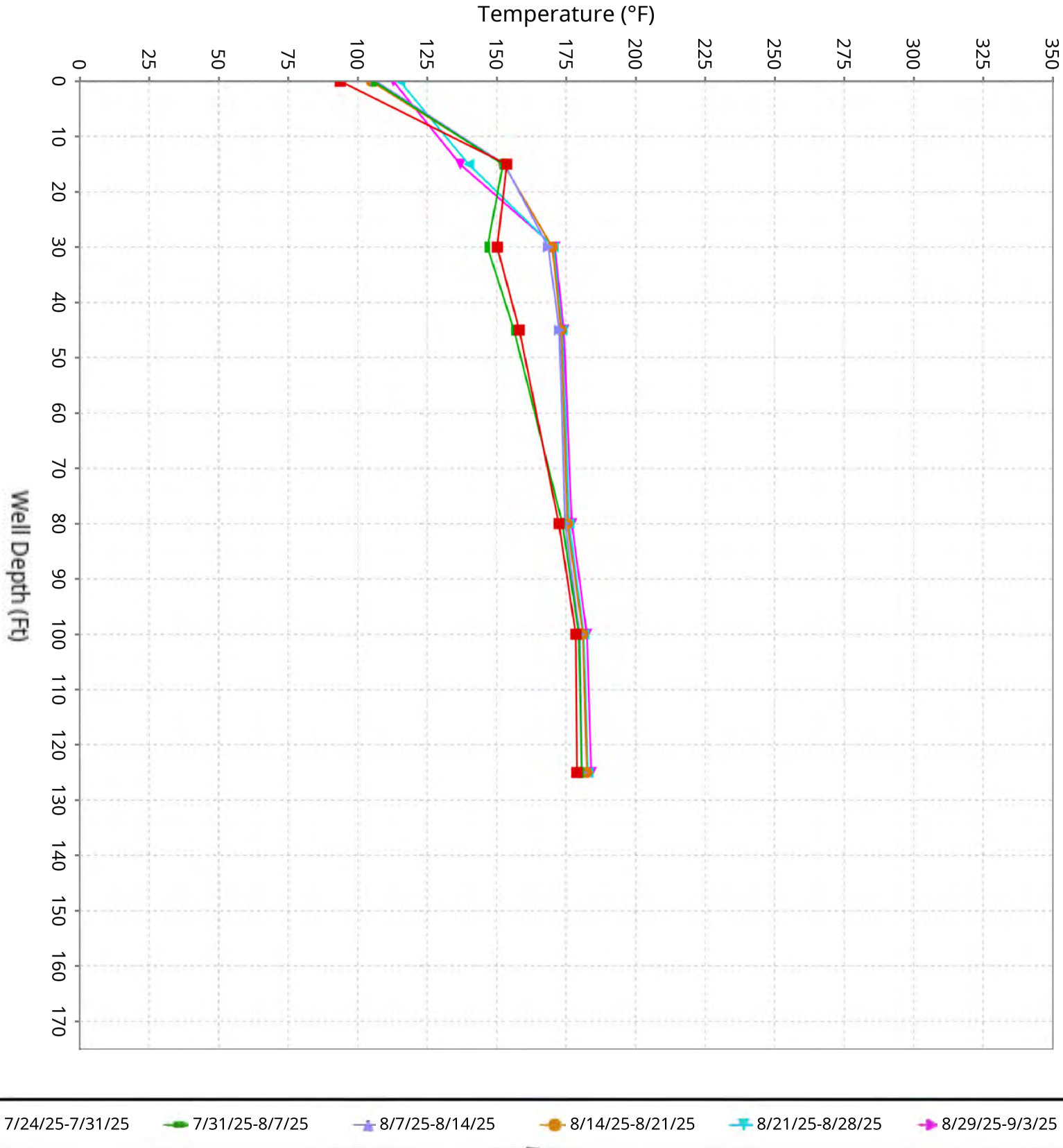
Maximum data for 7/24/2025 to 9/3/2025



■ 7/24/25-7/31/25 ■ 7/31/25-8/7/25 ■ 8/7/25-8/14/25 ■ 8/14/25-8/21/25 ■ 8/21/25-8/28/25 ■ 8/29/25-9/3/25

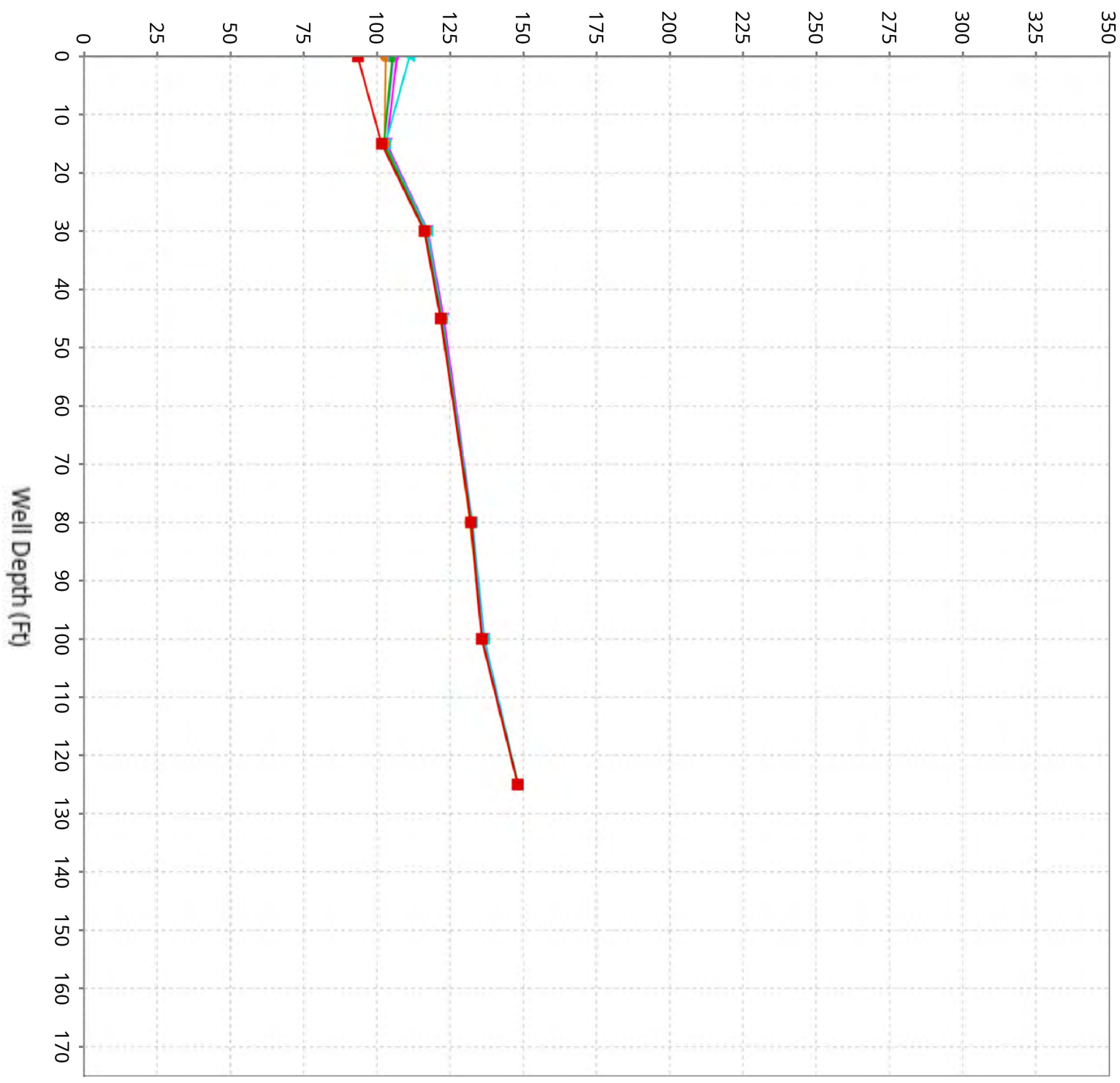
Vertical Temperature Profiles from Temperature Probes at Chiquita Landfill for TP-11

Maximum data for 7/24/2025 to 9/3/2025



Vertical Temperature Profiles from Temperature Probes at Chiquita Landfill for TP-12

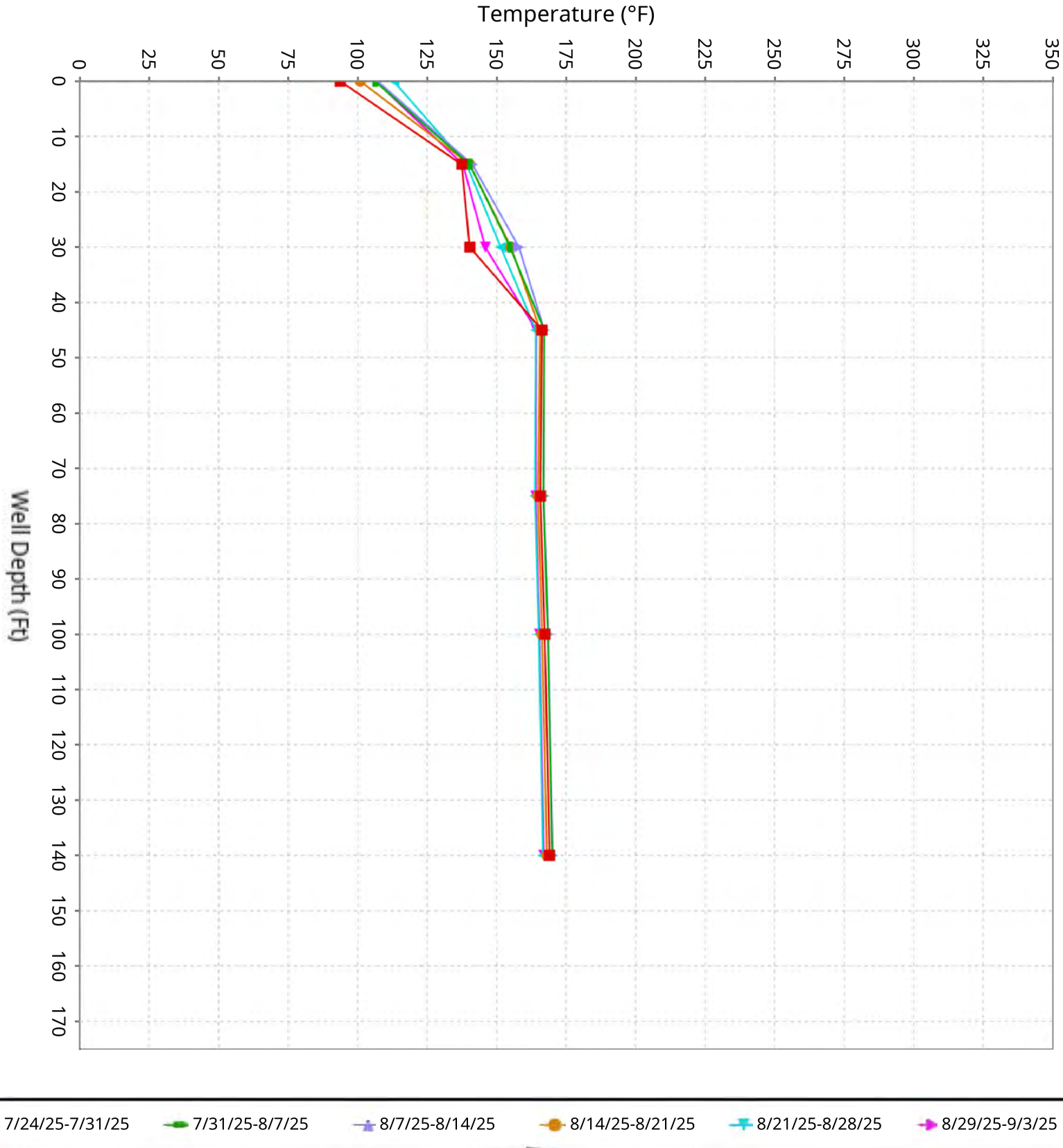
Maximum data for 7/24/2025 to 9/3/2025
Temperature (°F)



■ 7/24/25-7/31/25 ■ 7/31/25-8/7/25 ■ 8/7/25-8/14/25 ■ 8/14/25-8/21/25 ■ 8/21/25-8/28/25 ■ 8/29/25-9/3/25

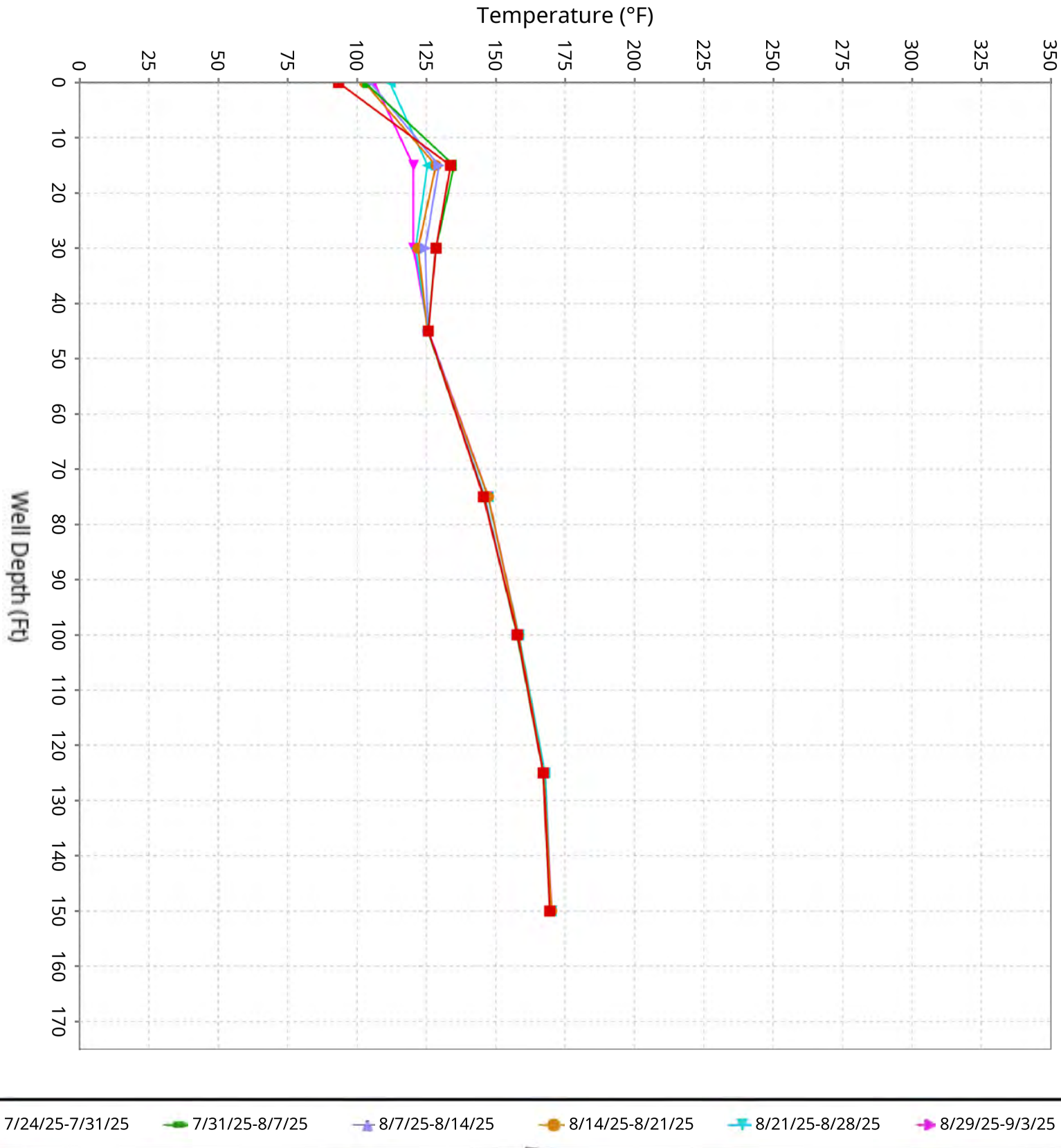
Vertical Temperature Profiles from Temperature Probes at Chiquita Landfill for TP-13

Maximum data for 7/24/2025 to 9/3/2025



Vertical Temperature Profiles from Temperature Probes at Chiquita Landfill for TP-14

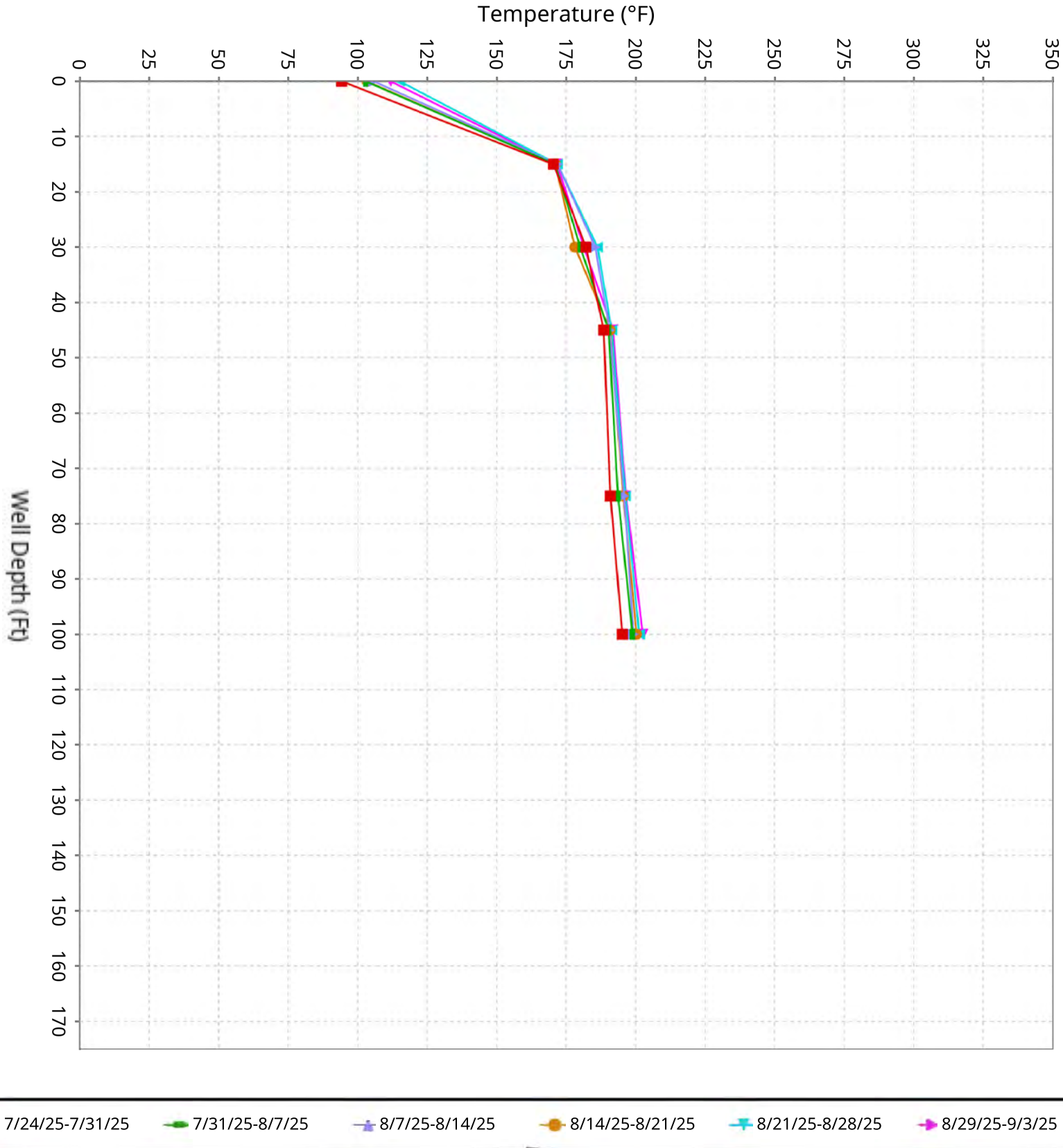
Maximum data for 7/24/2025 to 9/3/2025



■ 7/24/25-7/31/25 ■ 7/31/25-8/7/25 ■ 8/7/25-8/14/25 ■ 8/14/25-8/21/25 ■ 8/21/25-8/28/25 ■ 8/29/25-9/3/25

Vertical Temperature Profiles from Temperature Probes at Chiquita Landfill for TP-15

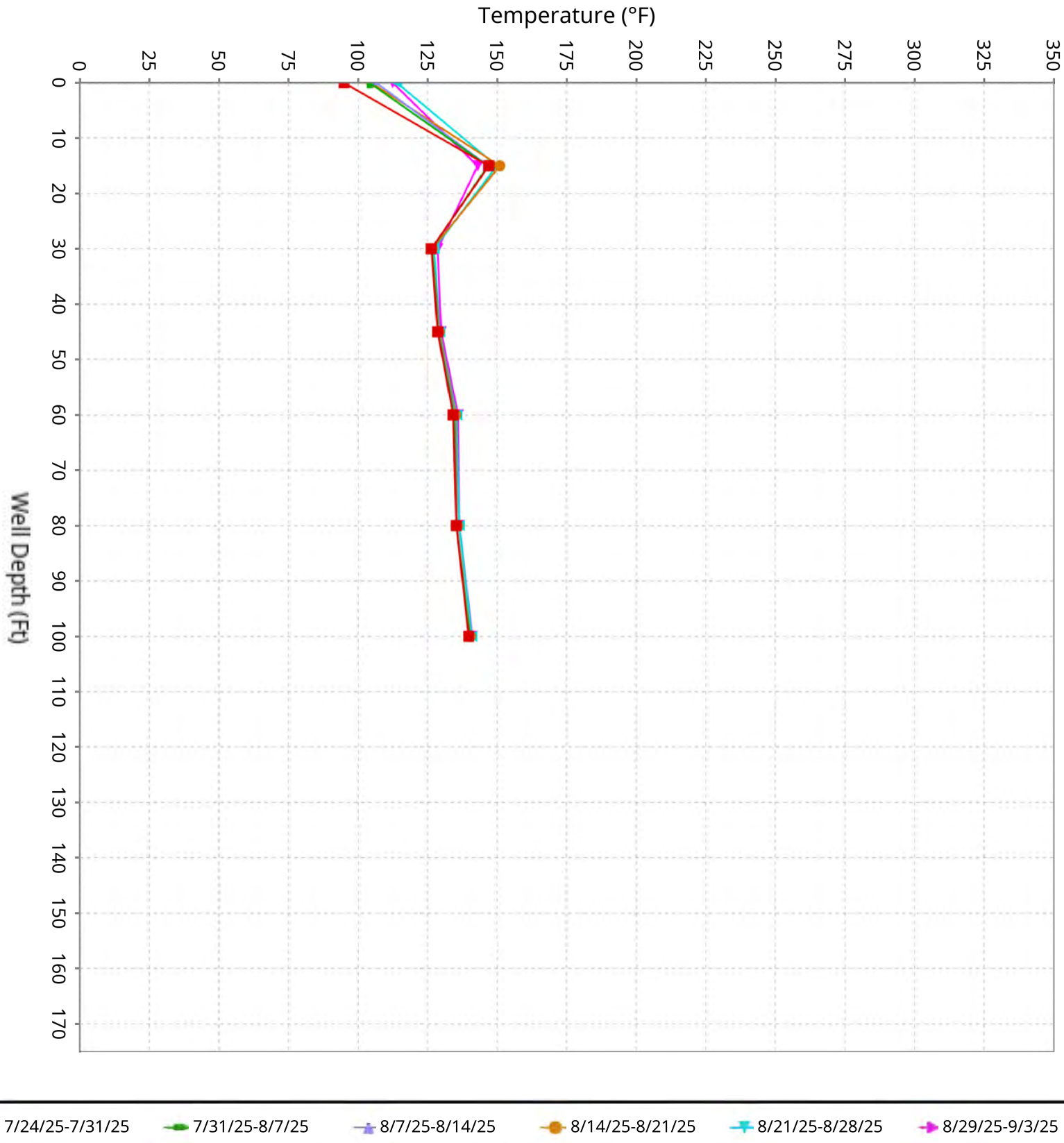
Maximum data for 7/24/2025 to 9/3/2025



■ 7/24/25-7/31/25 ■ 7/31/25-8/7/25 ■ 8/7/25-8/14/25 ■ 8/14/25-8/21/25 ■ 8/21/25-8/28/25 ■ 8/29/25-9/3/25

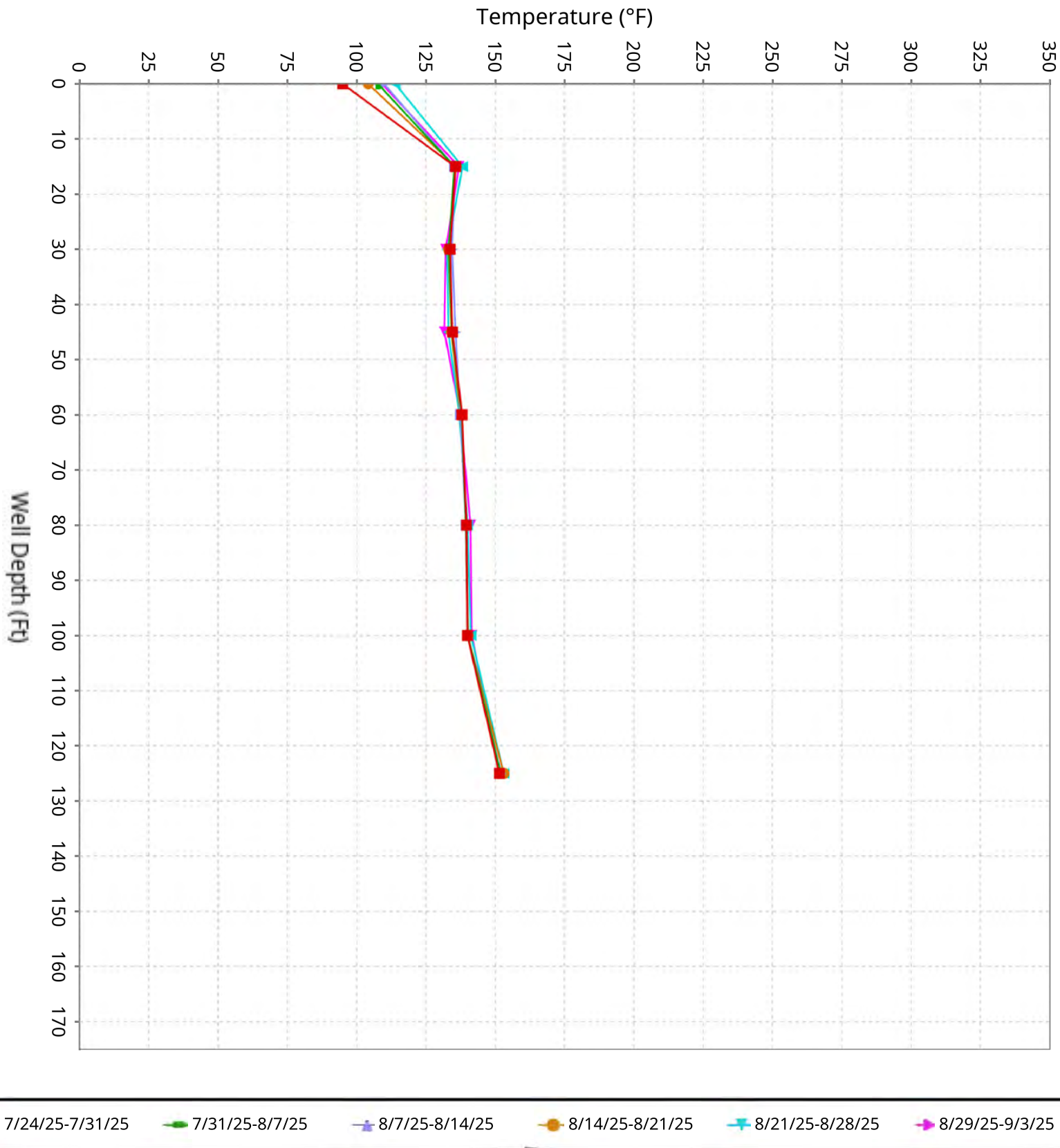
Vertical Temperature Profiles from Temperature Probes at Chiquita Landfill for TP-16

Maximum data for 7/24/2025 to 9/3/2025



Vertical Temperature Profiles from Temperature Probes at Chiquita Landfill for TP-17

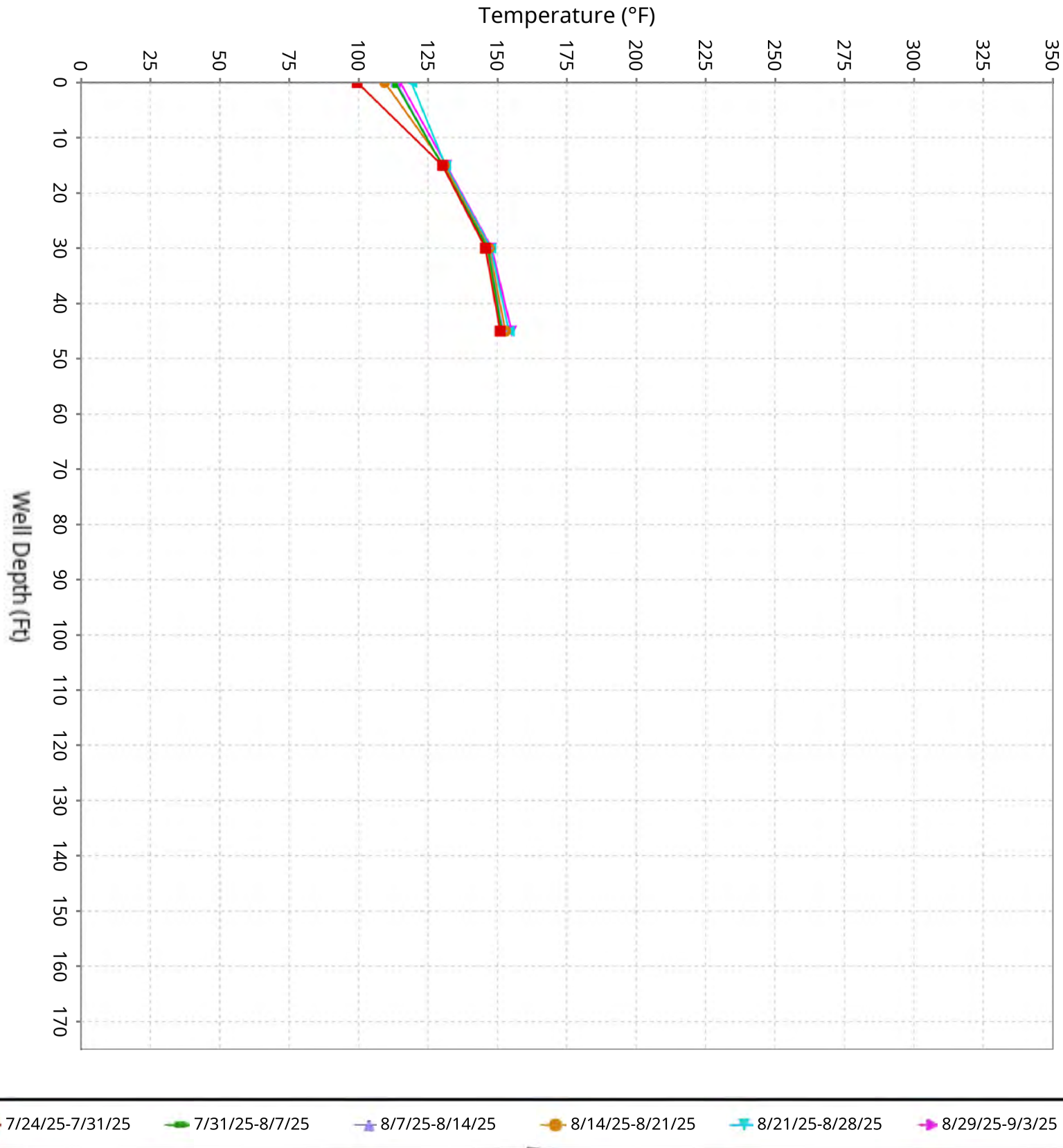
Maximum data for 7/24/2025 to 9/3/2025M



■ 7/24/25-7/31/25 ■ 7/31/25-8/7/25 ■ 8/7/25-8/14/25 ■ 8/14/25-8/21/25 ■ 8/21/25-8/28/25 ■ 8/29/25-9/3/25

Vertical Temperature Profiles from Temperature Probes at Chiquita Landfill for TP-18

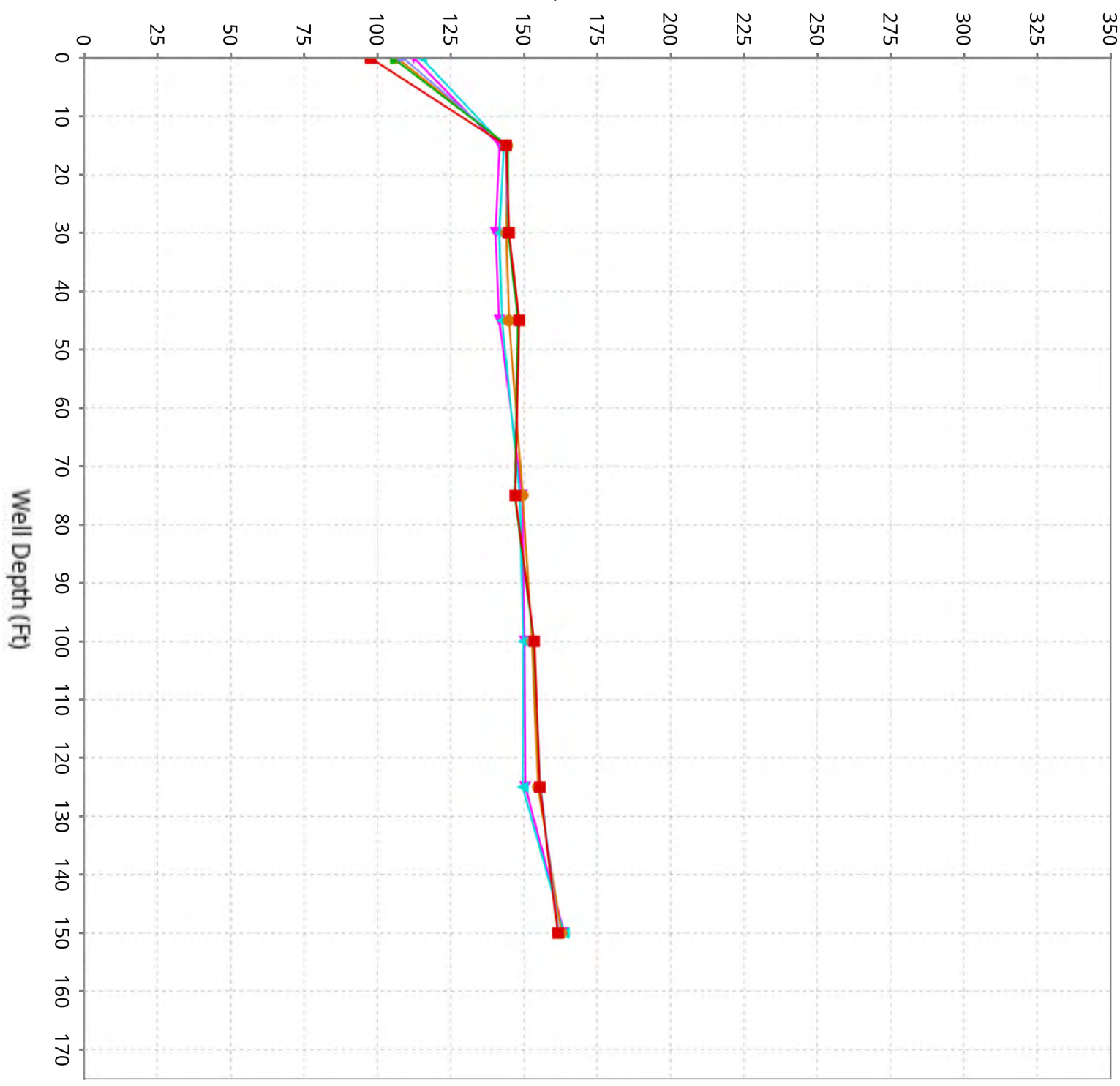
Maximum data for 7/24/2025 to 9/3/2025



Vertical Temperature Profiles from Temperature Probes at Chiquita Landfill for TP-19

Maximum data for 7/24/2025 to 9/3/2025

Temperature (°F)

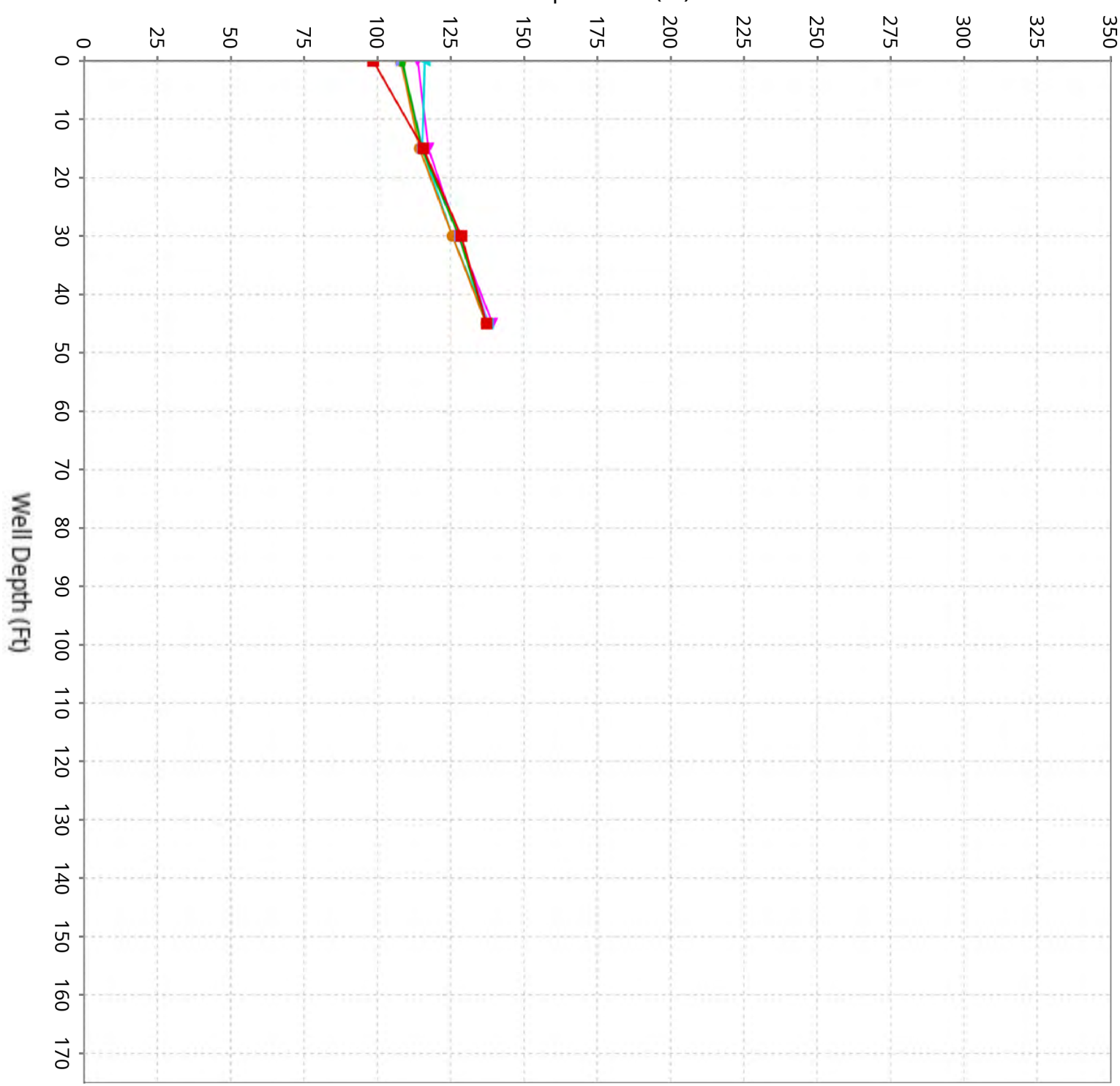


■ 7/24/25-7/31/25 ■ 7/31/25-8/7/25 ■ 8/7/25-8/14/25 ■ 8/14/25-8/21/25 ■ 8/21/25-8/28/25 ■ 8/29/25-9/3/25

Vertical Temperature Profiles from Temperature Probes at Chiquita Landfill for TP-20

Maximum data for 7/24/2025 to 9/3/2025

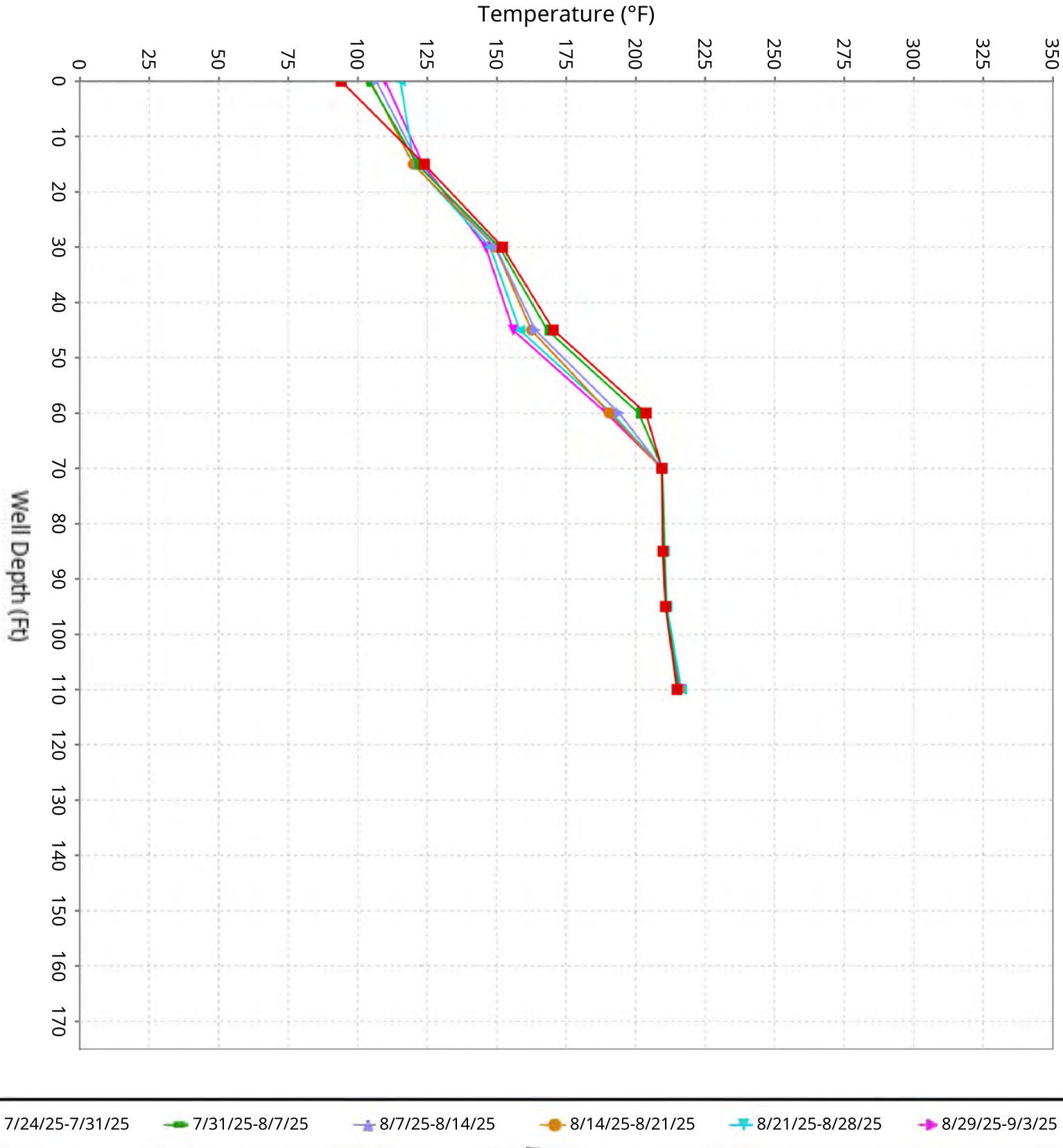
Temperature (°F)



■ 7/24/25-7/31/25 ■ 7/31/25-8/7/25 ■ 8/7/25-8/14/25 ■ 8/14/25-8/21/25 ■ 8/21/25-8/28/25 ■ 8/29/25-9/3/25

Vertical Temperature Profiles from Temperature Probes at Chiquita Landfill for TP-21

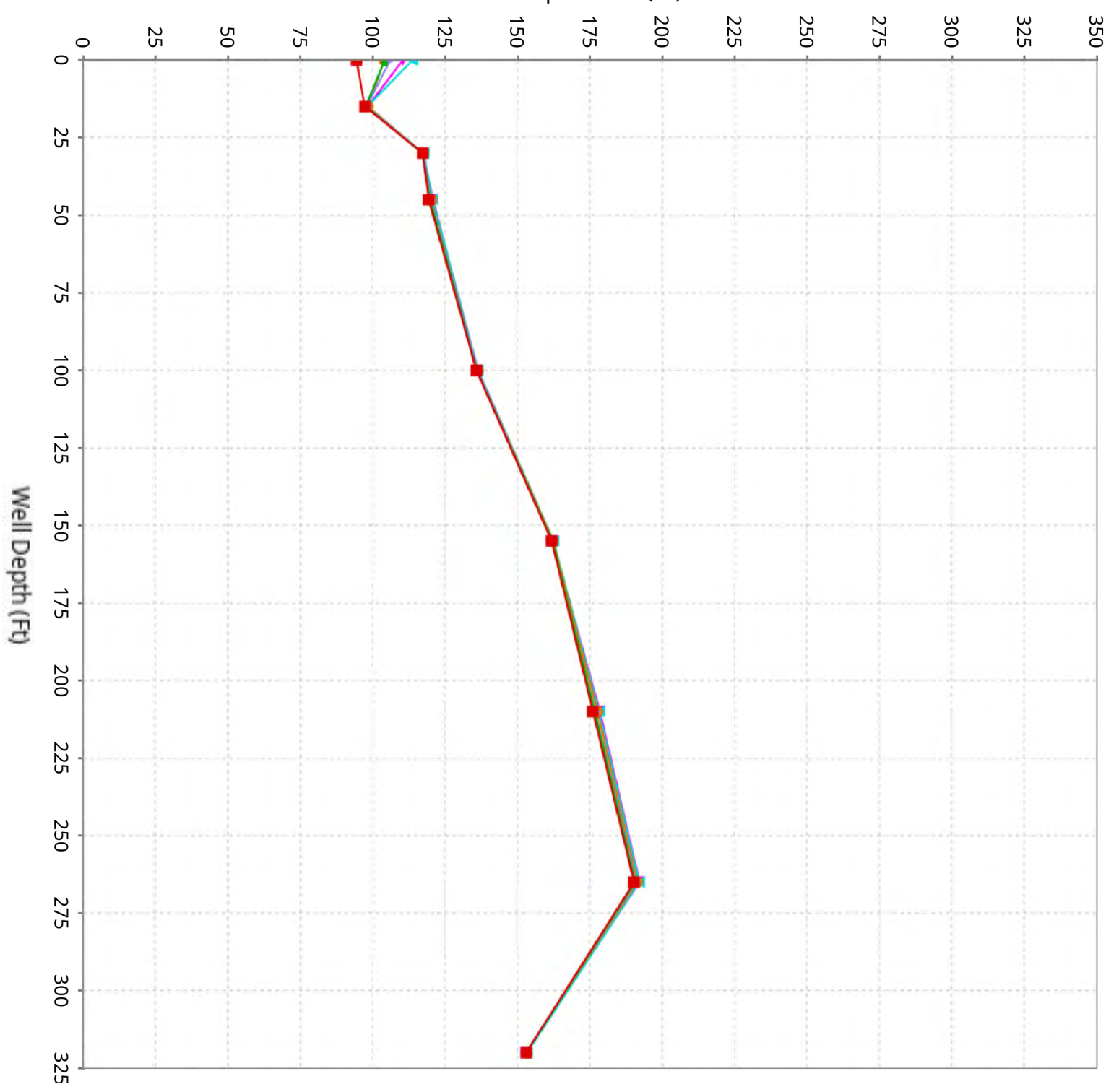
Maximum data for 7/24/2025 to 9/3/2025



Vertical Temperature Profiles from Temperature Probes at Chiquita Landfill for TP-24

Maximum data for 7/24/2025 to 9/3/2025

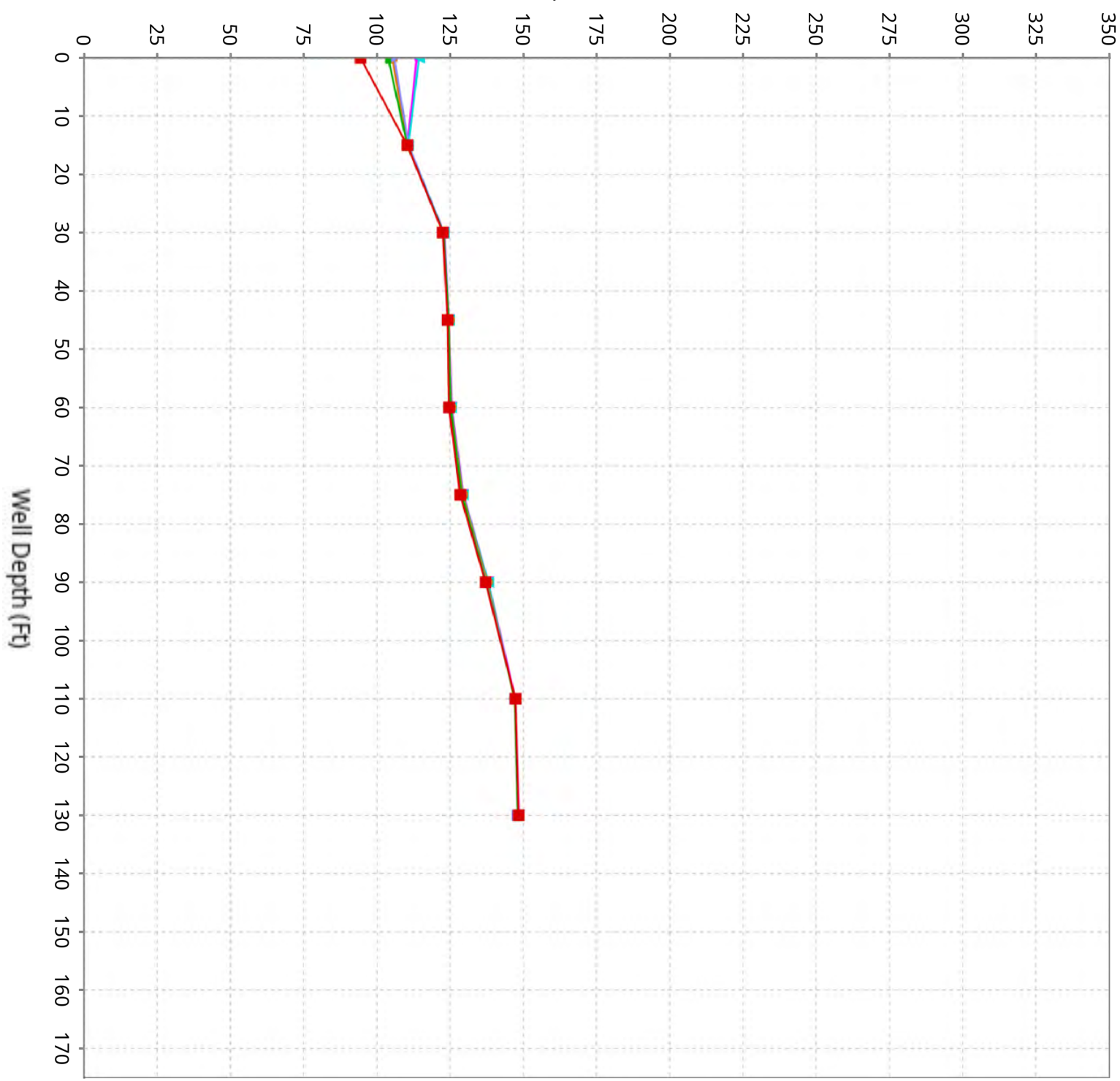
Temperature (°F)



Vertical Temperature Profiles from Temperature Probes at Chiquita Landfill for TP-25

Maximum data for 7/24/2025 to 9/3/2025

Temperature (°F)

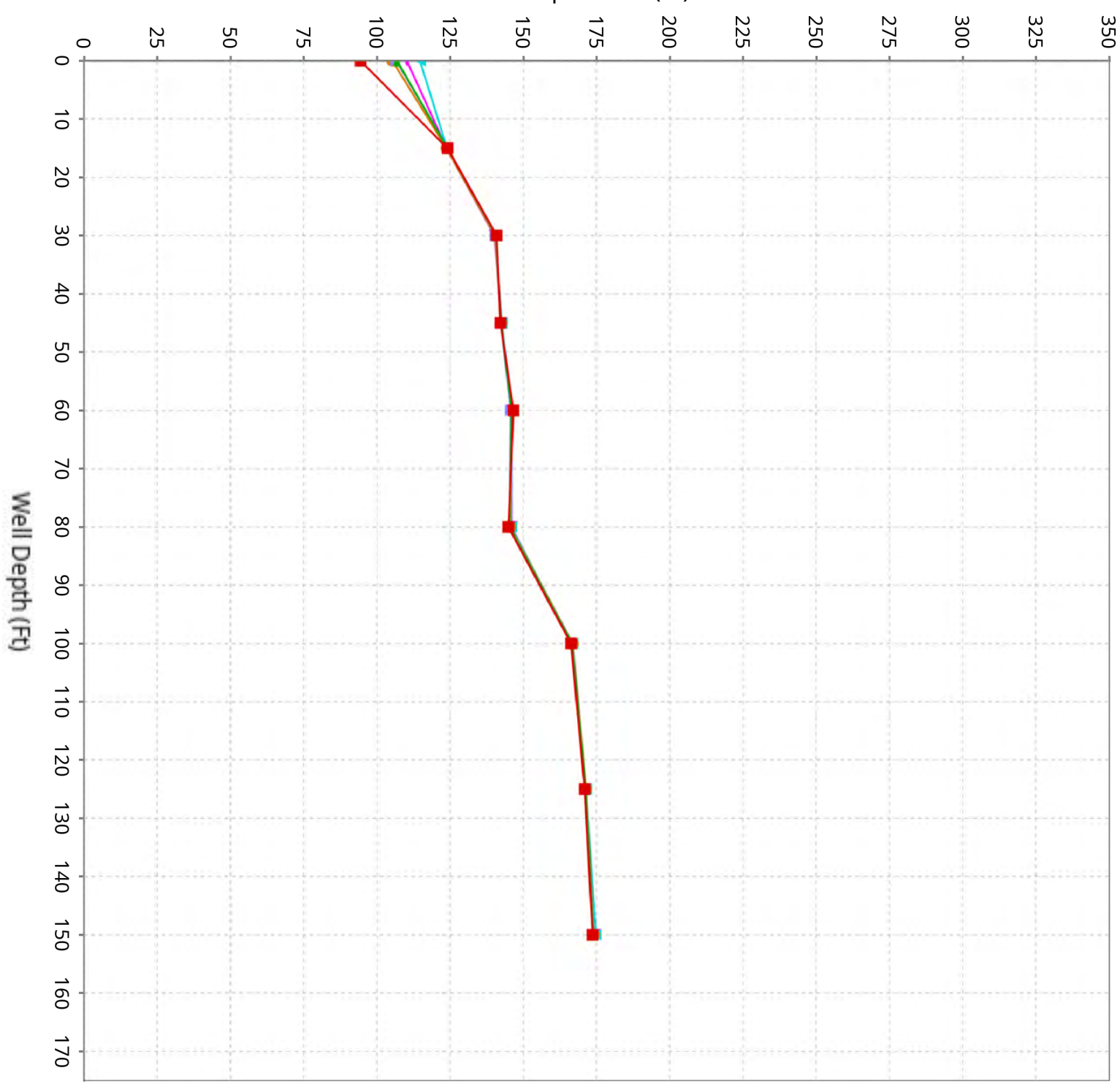


■ 7/24/25-7/31/25 ■ 7/31/25-8/7/25 ■ 8/7/25-8/14/25 ■ 8/14/25-8/21/25 ■ 8/21/25-8/28/25 ■ 8/29/25-9/3/25

Vertical Temperature Profiles from Temperature Probes at Chiquita Landfill for TP-26

Maximum data for 7/24/2025 to 9/3/2025

Temperature (°F)

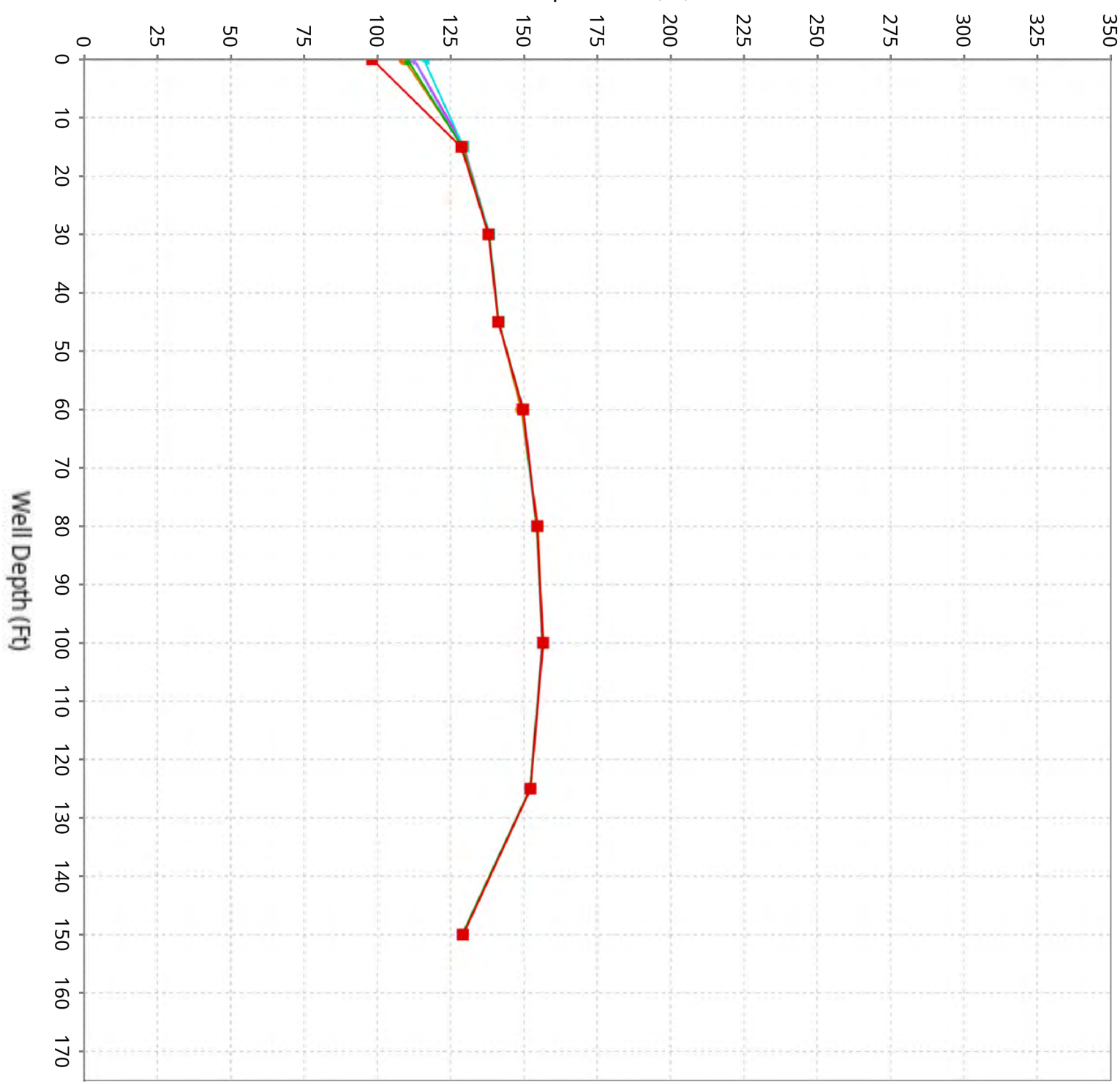


■ 7/24/25-7/31/25 ■ 7/31/25-8/7/25 ■ 8/7/25-8/14/25 ■ 8/14/25-8/21/25 ■ 8/21/25-8/28/25 ■ 8/29/25-9/3/25

Vertical Temperature Profiles from Temperature Probes at Chiquita Landfill for TP-27

Maximum data for 7/24/2025 to 9/3/2025

Temperature (°F)

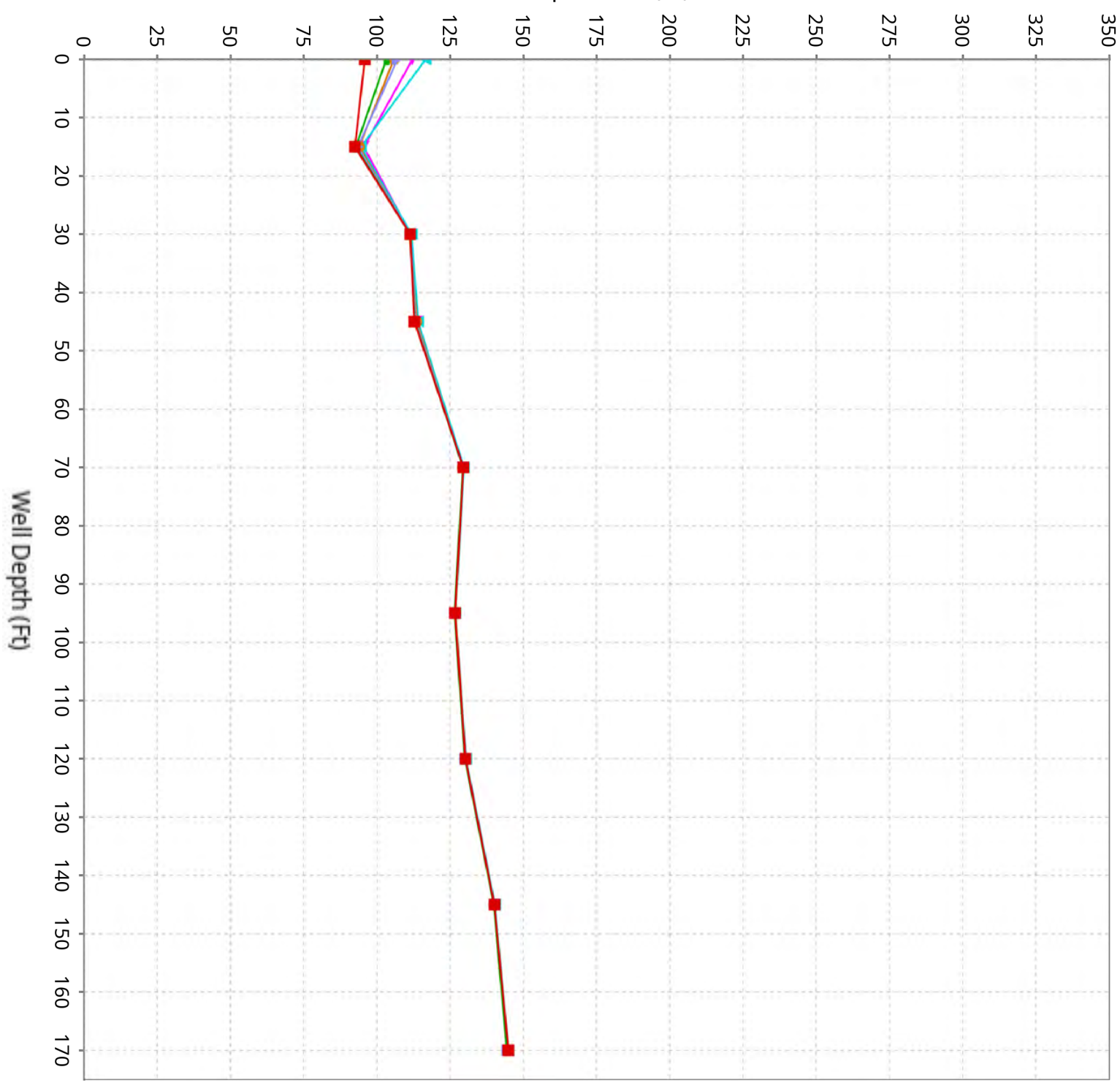


■ 7/24/25-7/31/25 ■ 7/31/25-8/7/25 ■ 8/7/25-8/14/25 ■ 8/14/25-8/21/25 ■ 8/21/25-8/28/25 ■ 8/29/25-9/3/25

Vertical Temperature Profiles from Temperature Probes at Chiquita Landfill for TP-28

Maximum data for 7/24/2025 to 9/3/2025

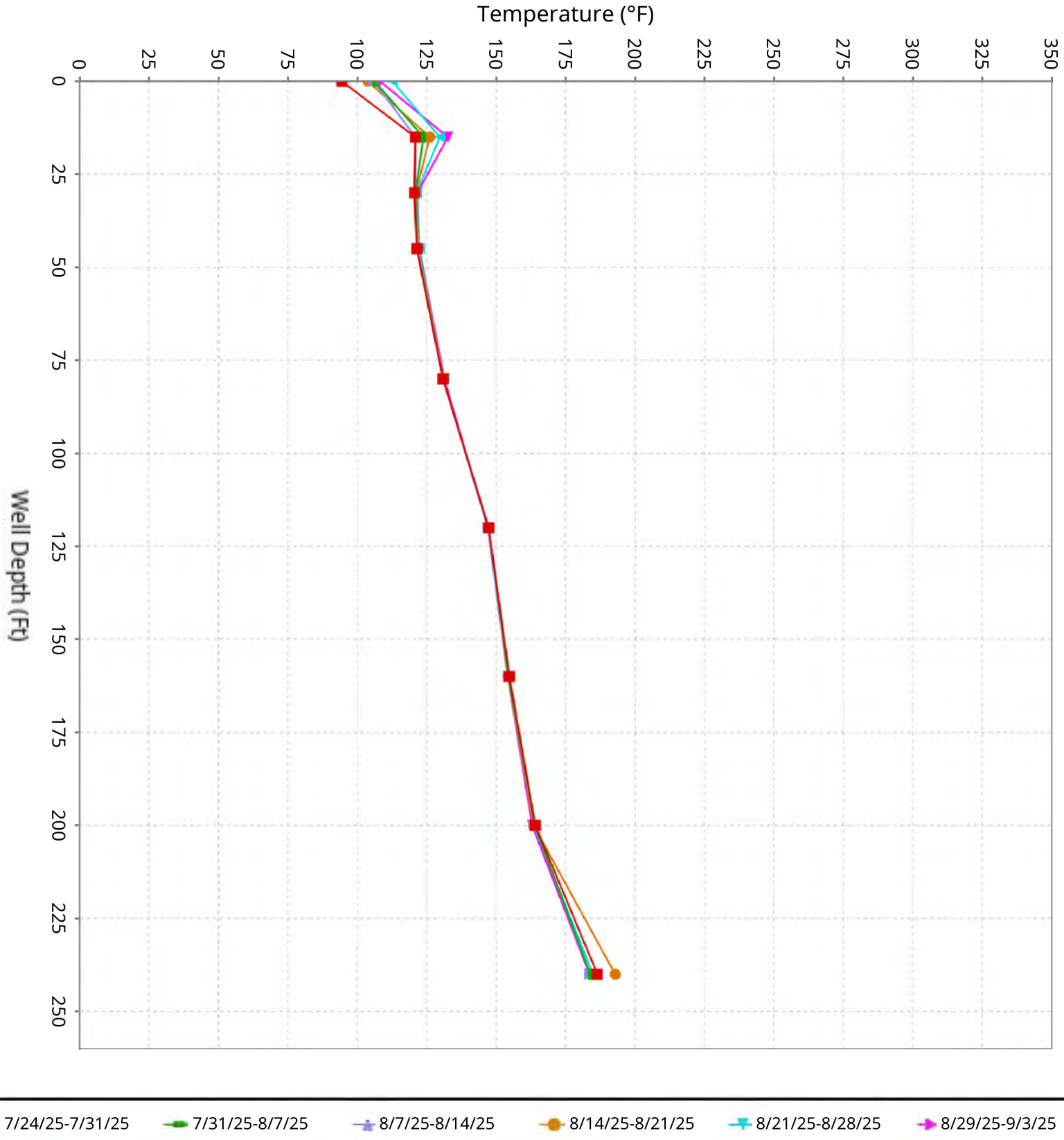
Temperature (°F)



■ 7/24/25-7/31/25 ■ 7/31/25-8/7/25 ■ 8/7/25-8/14/25 ■ 8/14/25-8/21/25 ■ 8/21/25-8/28/25 ■ 8/29/25-9/3/25

Vertical Temperature Profiles from Temperature Probes at Chiquita Landfill for TP-29

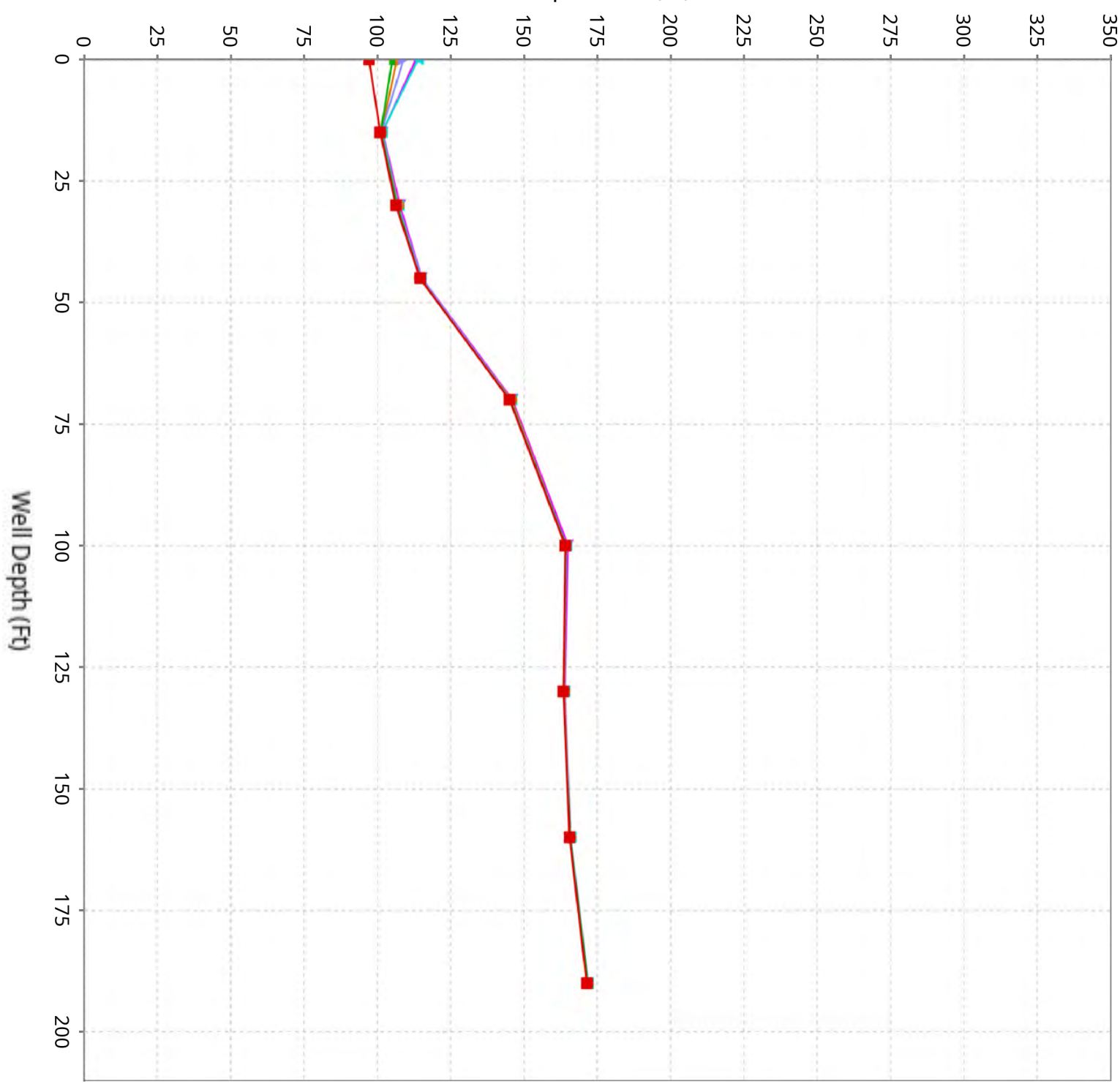
Maximum data for 7/24/2025 to 9/3/2025



Vertical Temperature Profiles from Temperature Probes at Chiquita Landfill for TP-30

Maximum data for 7/24/2025 to 9/3/2025

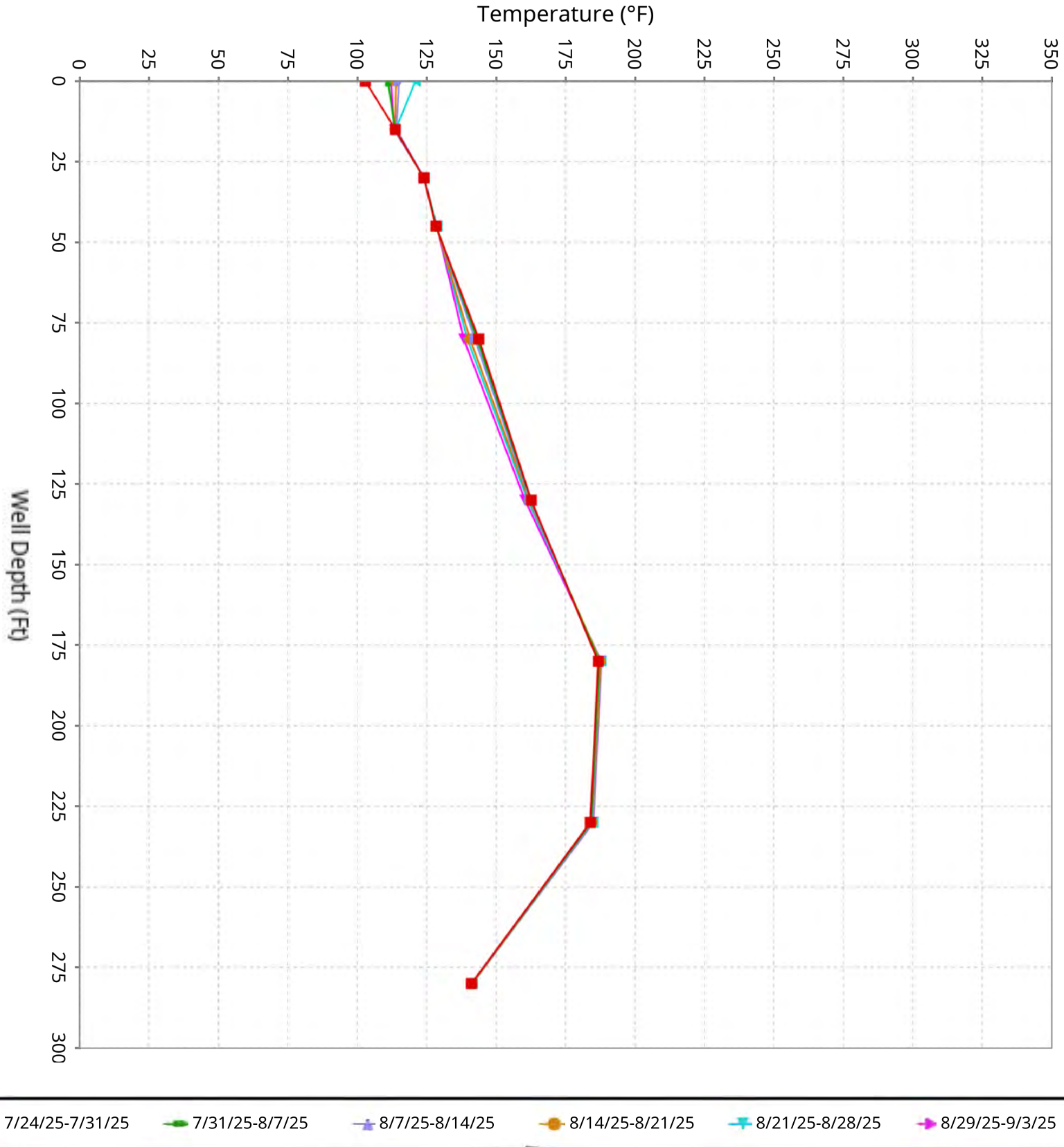
Temperature (°F)



■ 7/24/25-7/31/25 ■ 7/31/25-8/7/25 ■ 8/7/25-8/14/25 ■ 8/14/25-8/21/25 ■ 8/21/25-8/28/25 ■ 8/29/25-9/3/25

Vertical Temperature Profiles from Temperature Probes at Chiquita Landfill for TP-31

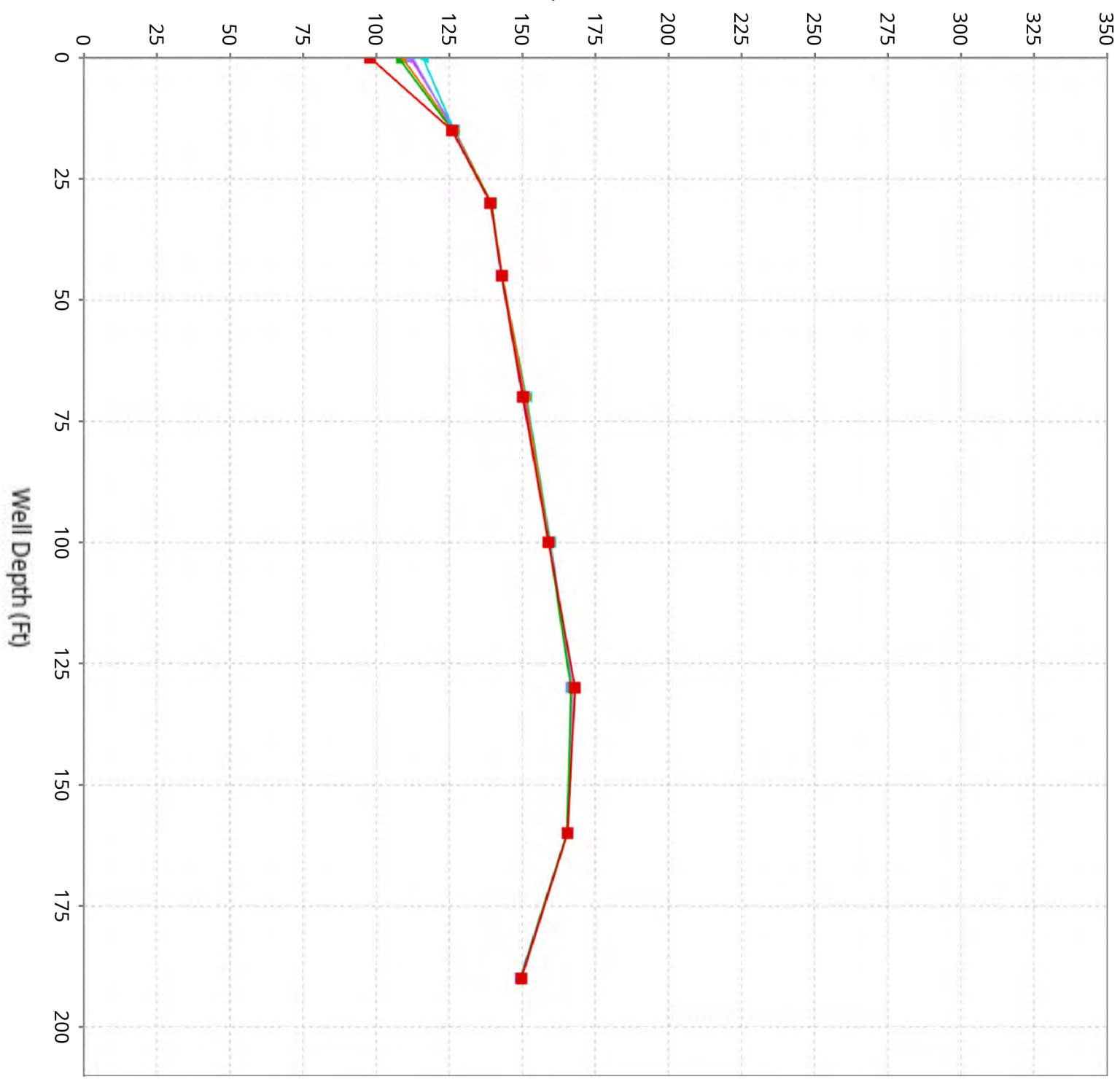
Maximum data for 7/24/2025 to 9/3/2025



Vertical Temperature Profiles from Temperature Probes at Chiquita Landfill for TP-32

Maximum data for 7/24/2025 to 9/3/2025

Temperature (°F)

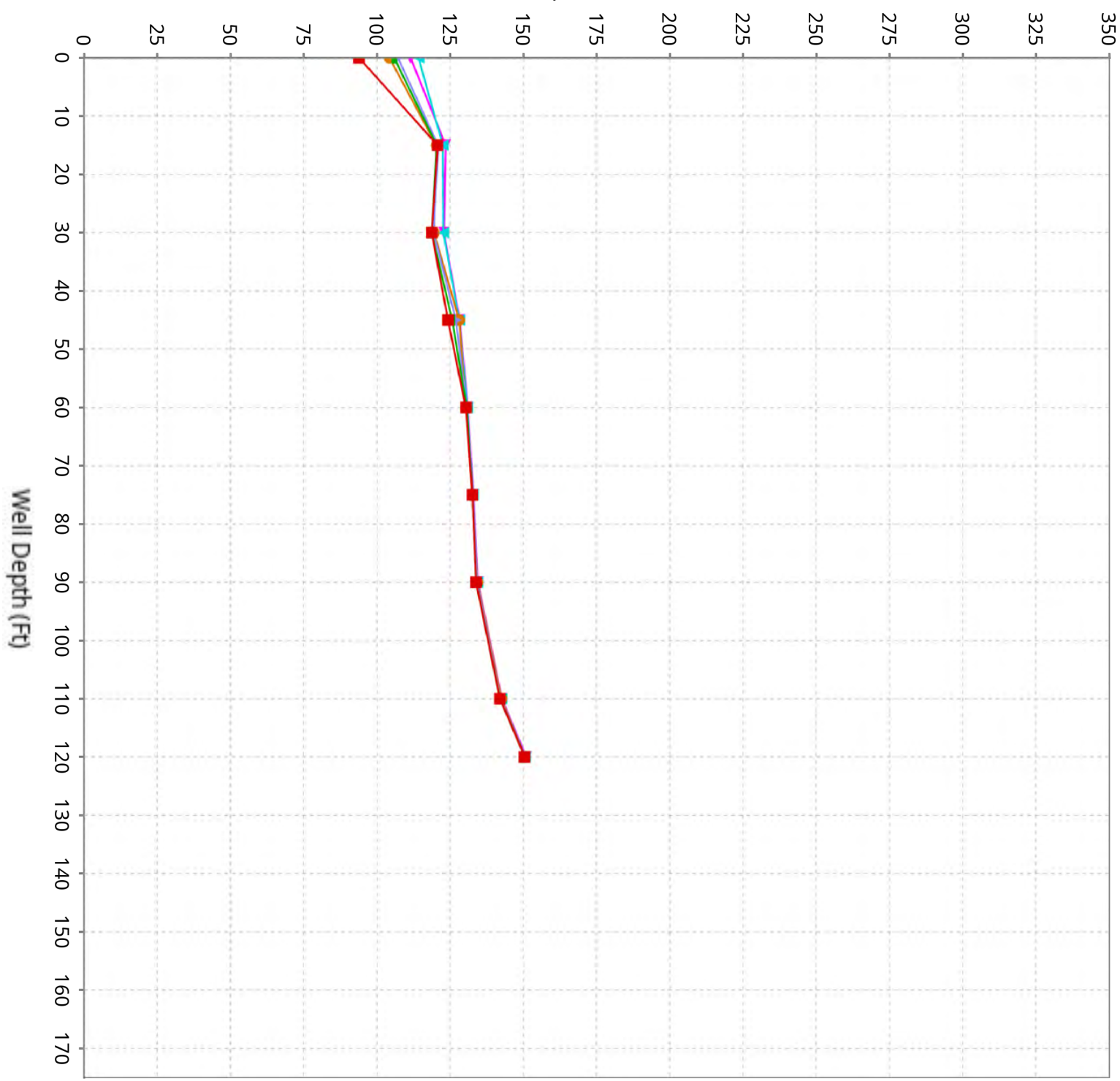


■ 7/24/25-7/31/25 ■ 7/31/25-8/7/25 ■ 8/7/25-8/14/25 ■ 8/14/25-8/21/25 ■ 8/21/25-8/28/25 ■ 8/29/25-9/3/25

Vertical Temperature Profiles from Temperature Probes at Chiquita Landfill for TP-34

Maximum data for 7/24/2025 to 9/3/2025

Temperature (°F)

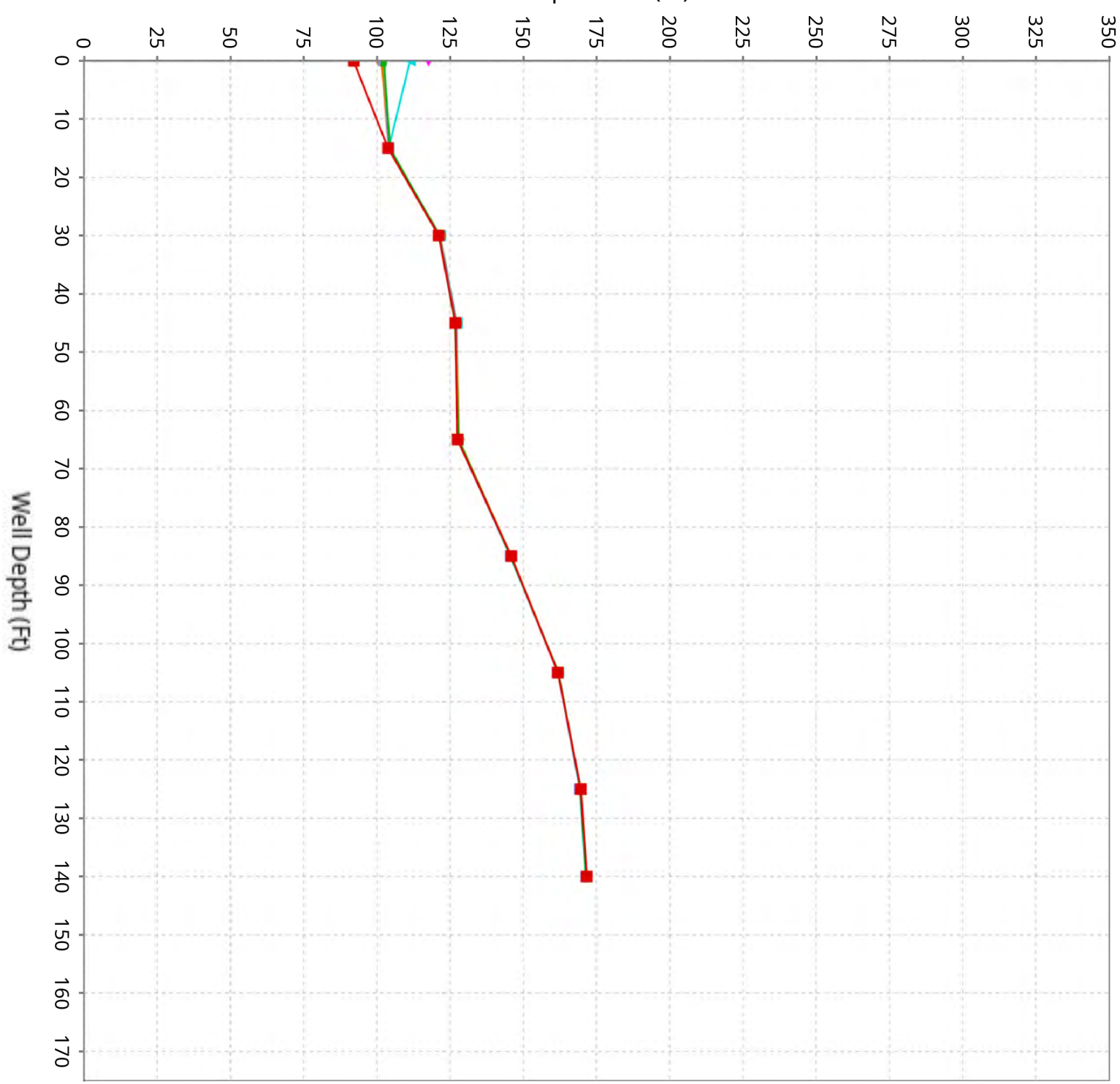


■ 7/24/25-7/31/25 ■ 7/31/25-8/7/25 ■ 8/7/25-8/14/25 ■ 8/14/25-8/21/25 ■ 8/21/25-8/28/25 ■ 8/29/25-9/3/25

Vertical Temperature Profiles from Temperature Probes at Chiquita Landfill for TP-35

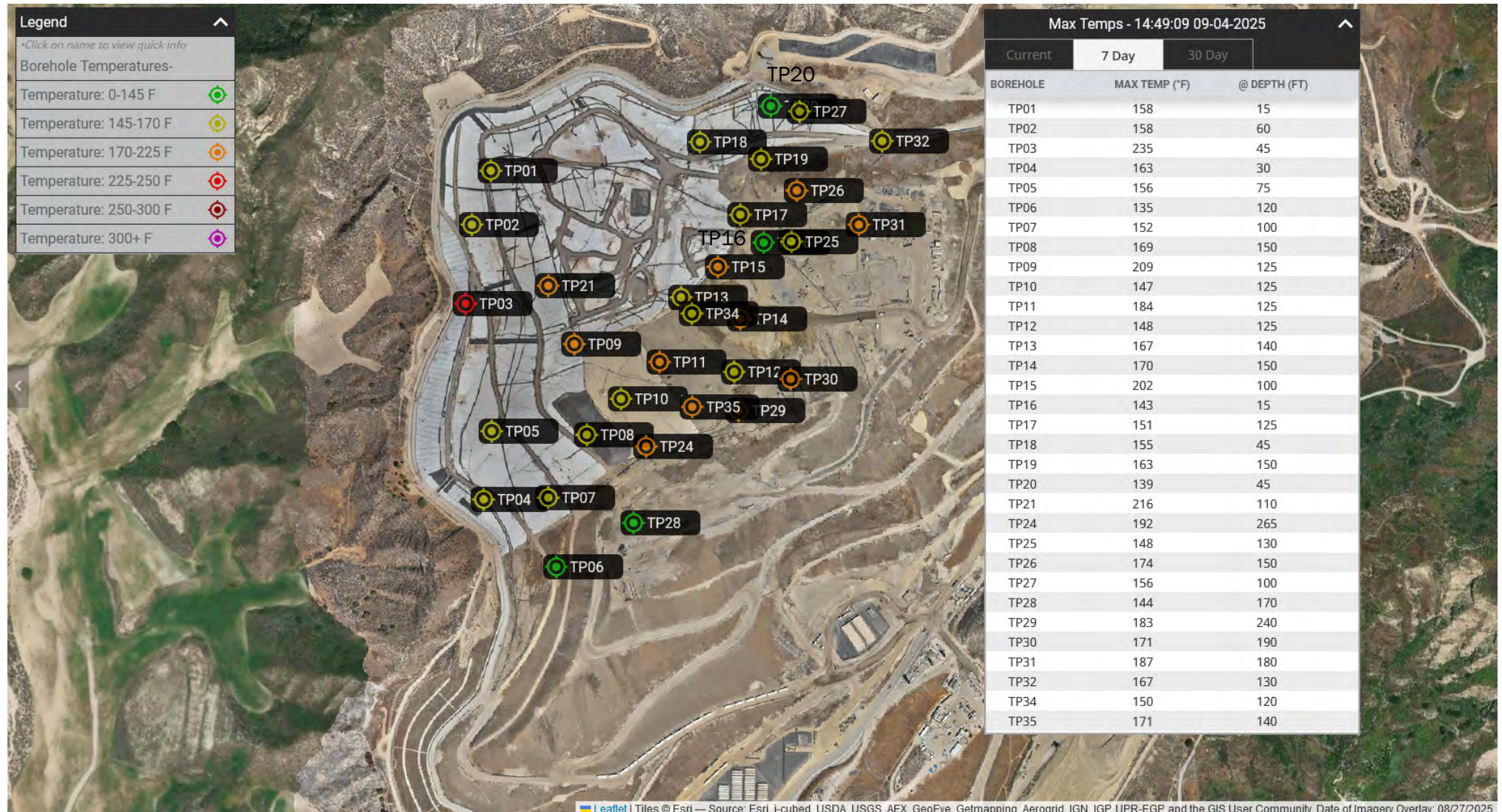
Maximum data for 7/24/2025 to 9/3/2025

Temperature (°F)

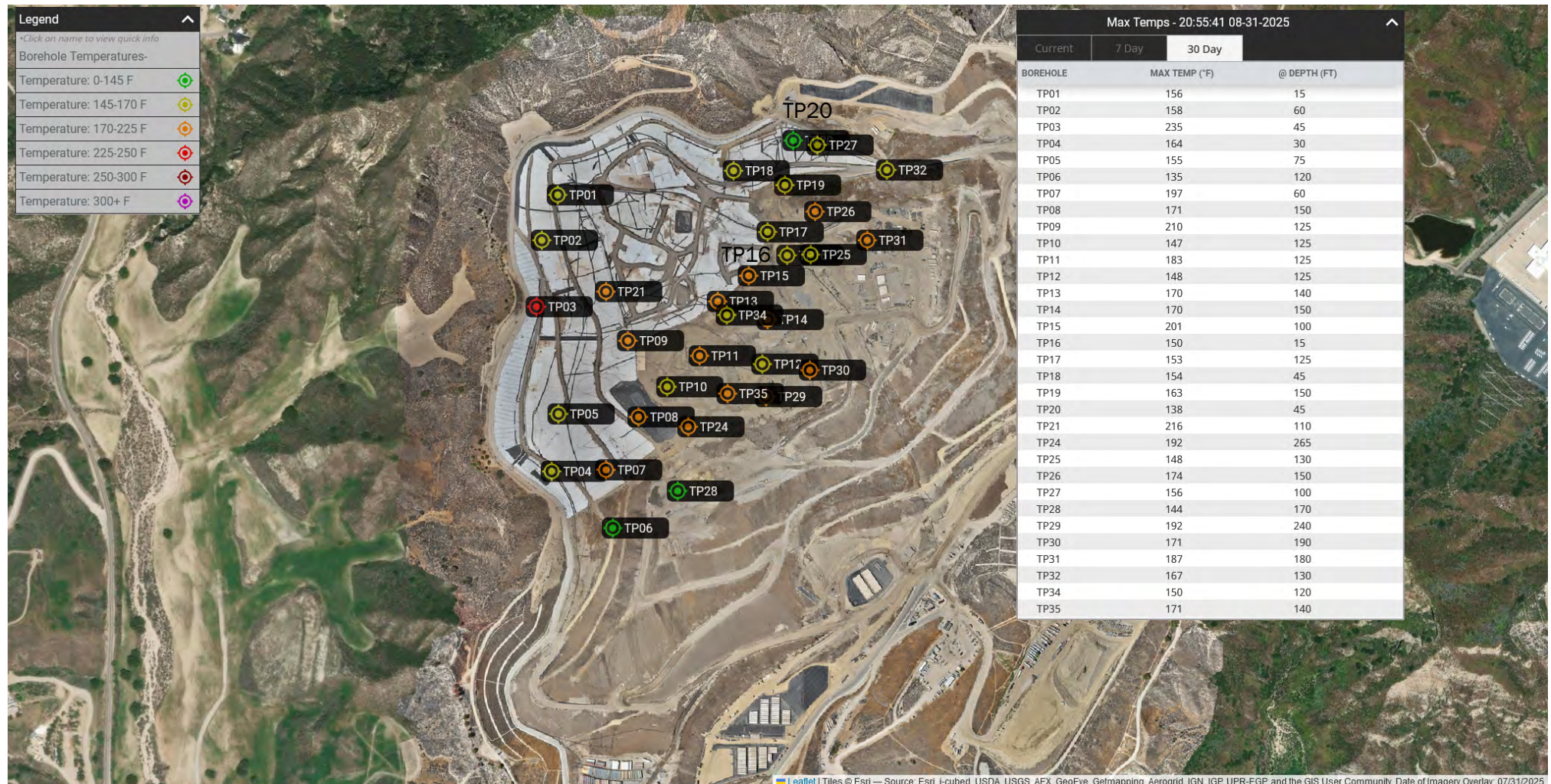


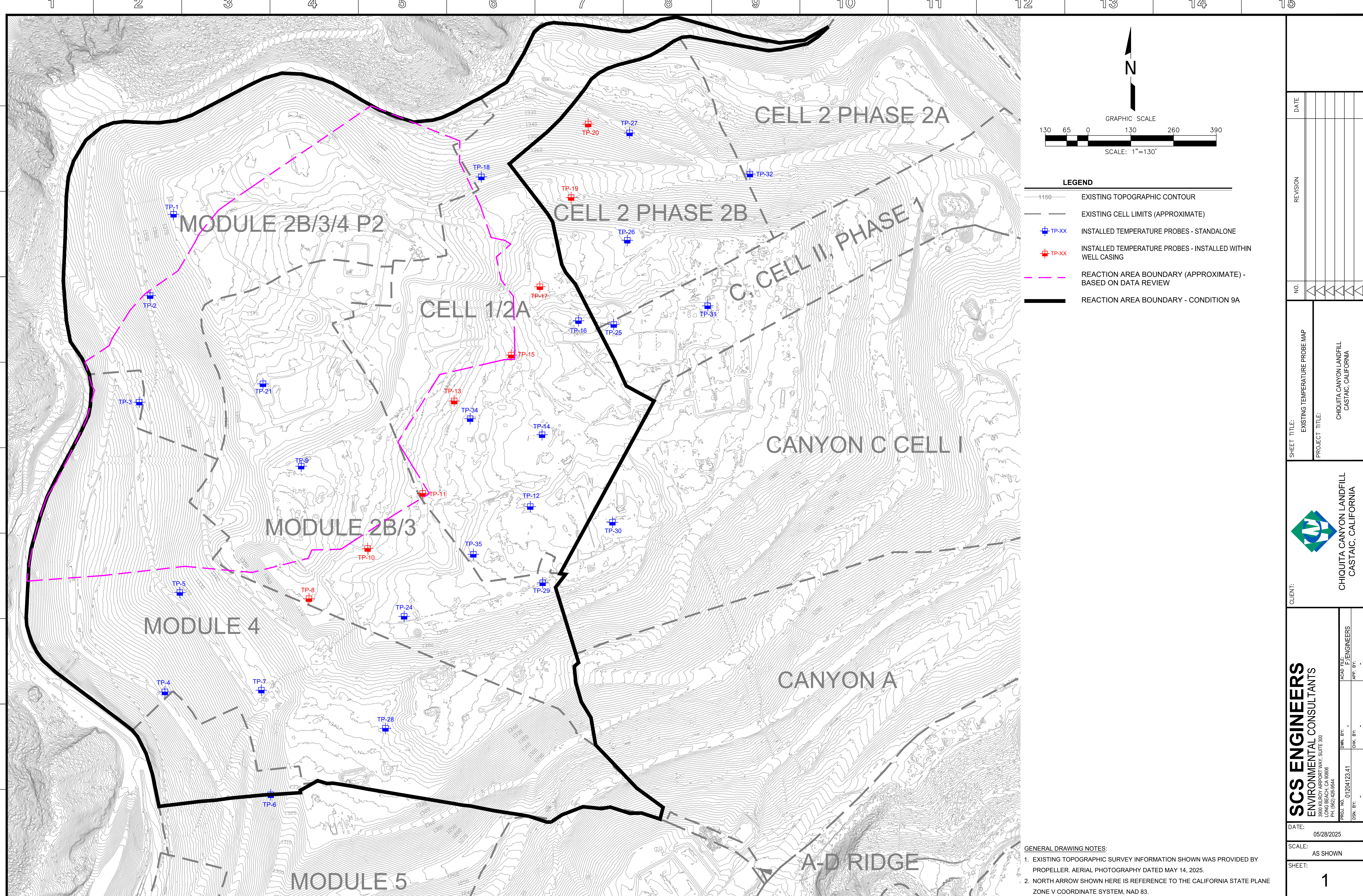
■ 7/24/25-7/31/25 ■ 7/31/25-8/7/25 ■ 8/7/25-8/14/25 ■ 8/14/25-8/21/25 ■ 8/21/25-8/28/25 ■ 8/29/25-9/3/25

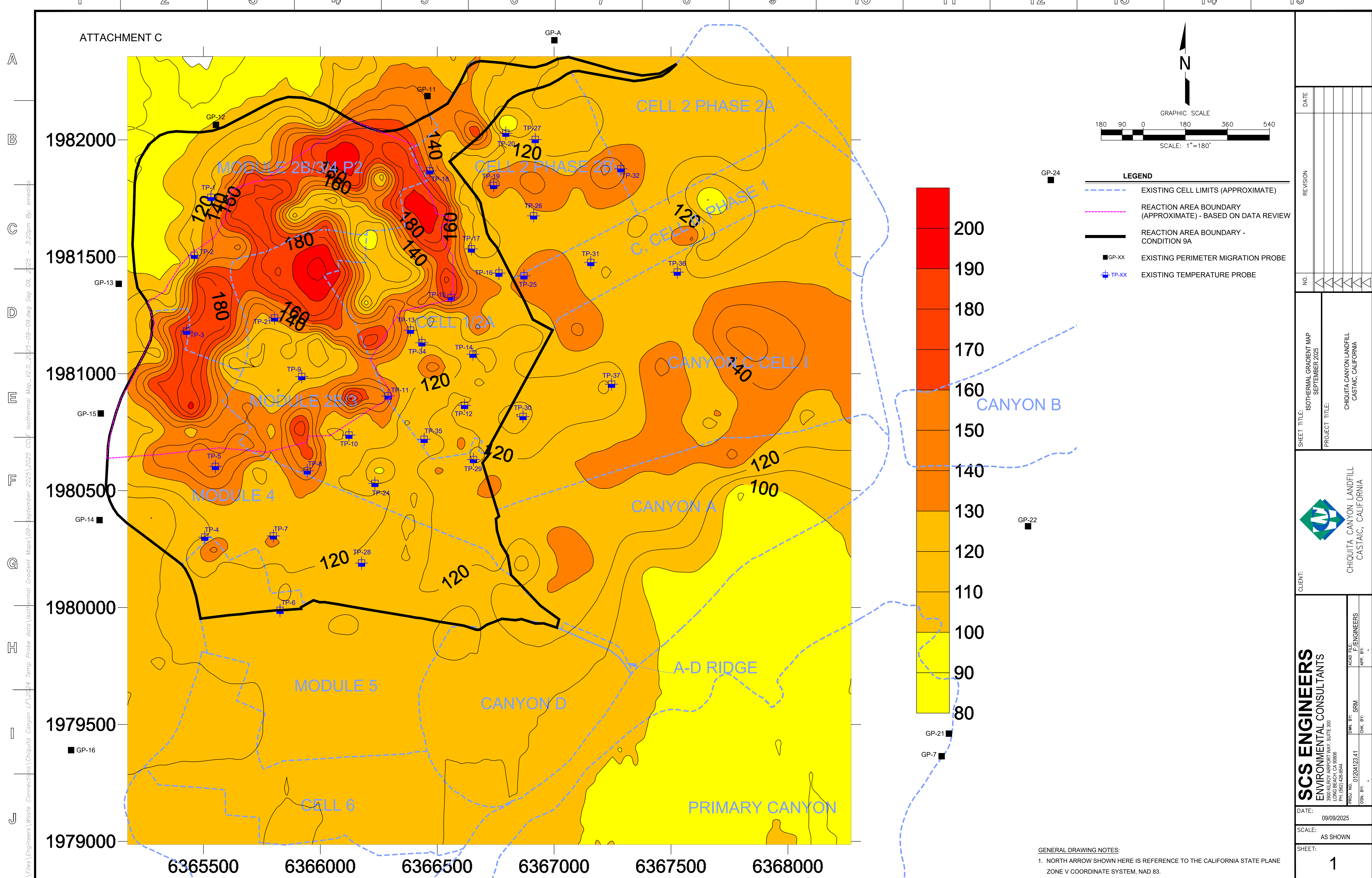
Maximum Vertical Temperature Map from Temperature Probes at Chiquita Landfill

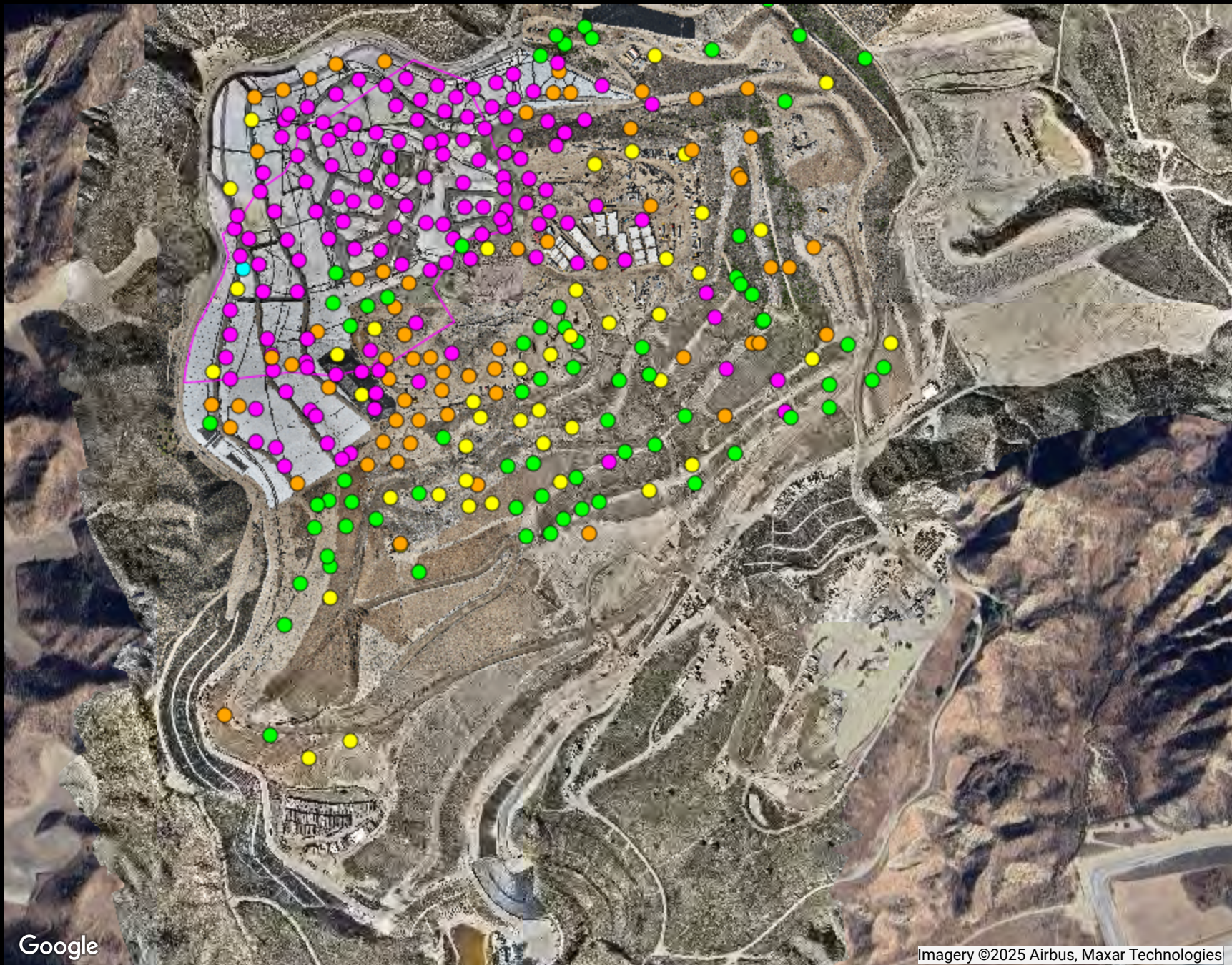


Thirty Day Maximum Vertical Temperature Map from Temperature Probes at Chiquita Landfill









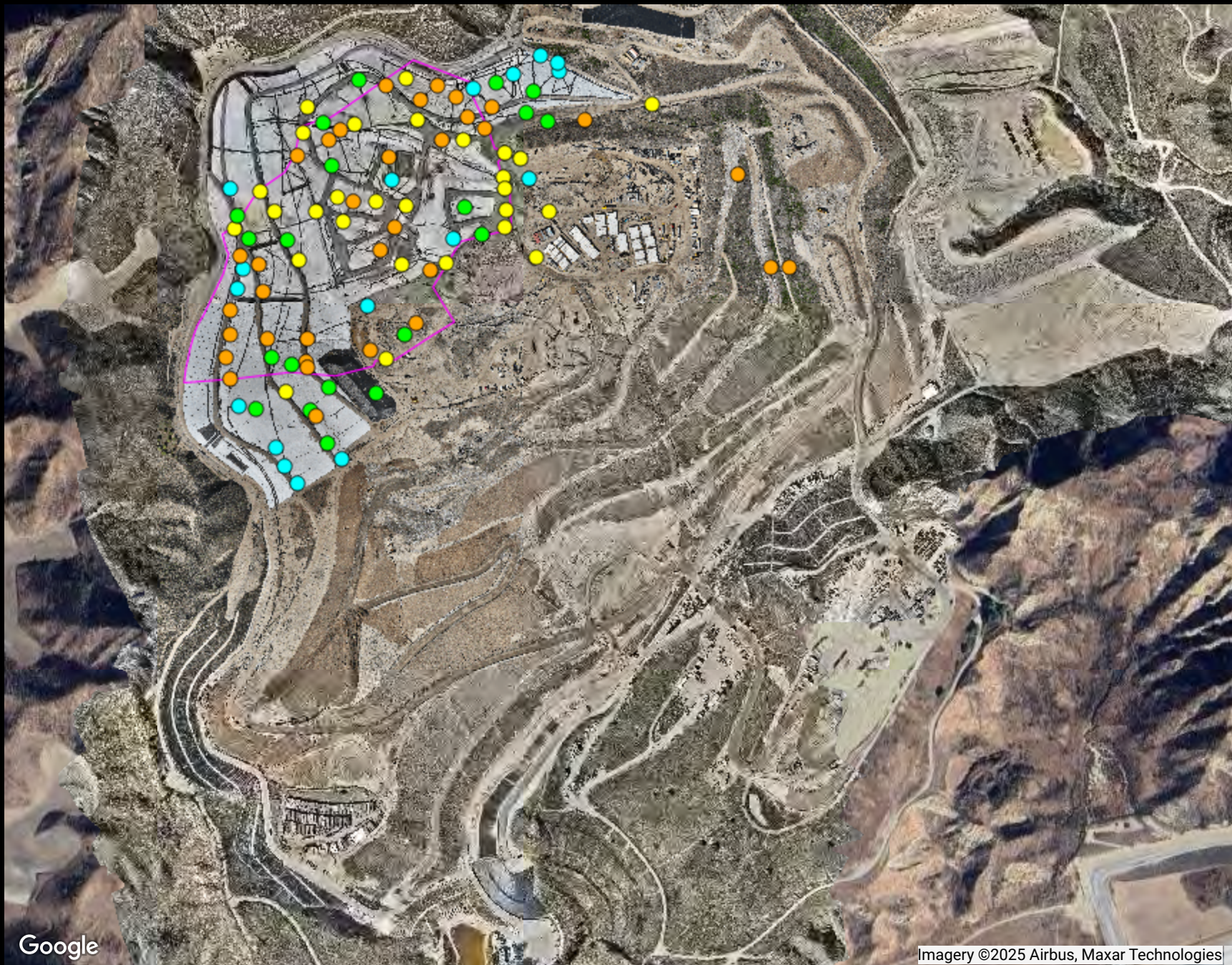
ATTACHMENT D

**Chiquita Canyon Landfill
Range Map
Parameter: CH₄/CO₂ Ratio (high range)
Analysis Method: Average**

Date Range: 08/01/2025 - 08/31/2025

Map generation date : 09/10/2025





<u>Ranges Mapped</u>		# Points
≥ 0 and < 20000		17
≥ 20000 and < 50000		20
≥ 50000 and < 100000		28
≥ 100000 and < 999999		34

The range values noted above are in units of parts per million (ppm). Divide by 10,000 to convert these values to units of percent by volume.

Point Type Legend

- calibration record
- flare-engine-ghg
- monitoring probe
- sample port
- well

ATTACHMENT E

Chiquita Canyon Landfill

Range Map

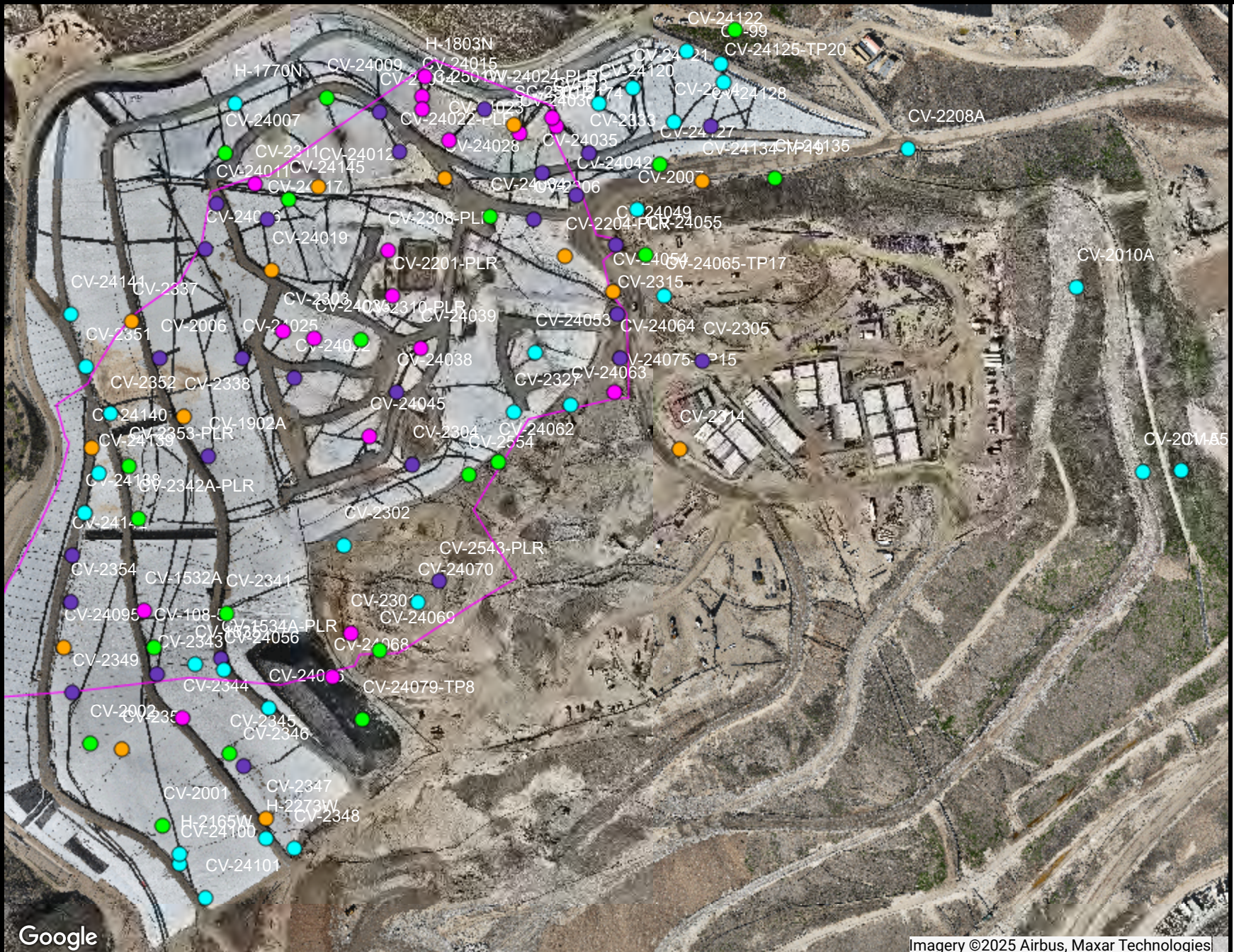
Parameter: H2 (mid range)

Analysis Method: Average

Date Range: 08/01/2025 - 08/31/2025

Map generation date : 09/10/2025





Ranges Mapped

Points

Blue	≥ 0	and	< 500
Green	≥ 500	and	< 1000
Orange	≥ 1000	and	< 1500
Magenta	≥ 1500	and	< 2000
Purple	≥ 2000	and	< 1000000

Point Type Legend



Google

Imagery ©2025 Airbus, Maxar Technologies

ATTACHMENT F

Chiquita Canyon Landfill

Range Map

Parameter: CO (mid range)

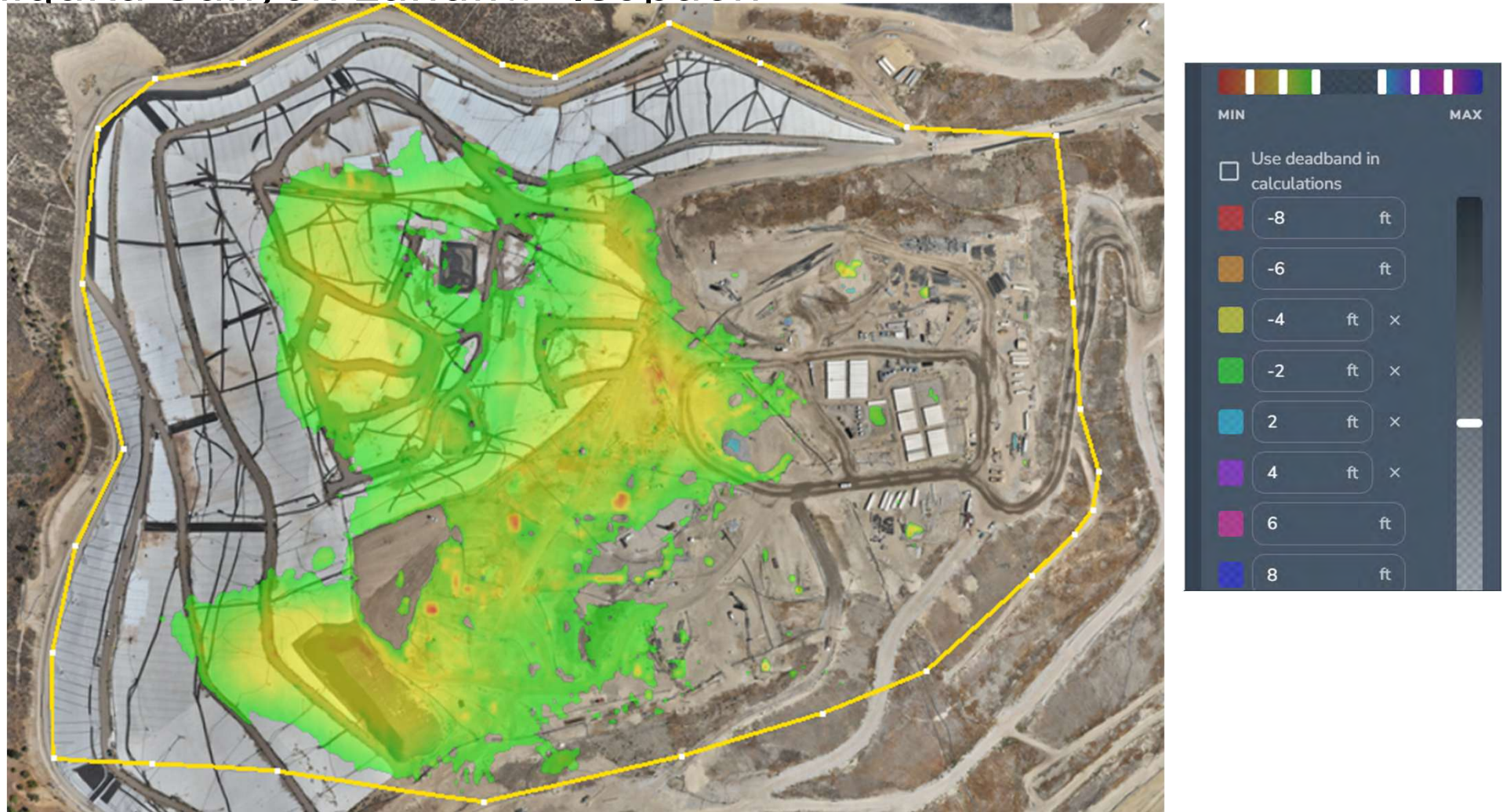
Analysis Method: Average

Map generation date : 09/10/2025



SCSeTools

Chiquita Canyon Landfill - Isopach



July 2, 2025 Survey Image. April 2, 2025 vs July 2, 2025